

# บทที่ 1

## โครงสร้างอะตอม (Atomic Structure)

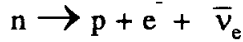
การศึกษาโครงสร้างอะตอมนำไปสู่ความเข้าใจถึงสมบัติทางเคมี ความว่องไวของปฏิกิริยาระหว่างธาตุ สมบัติตามตารางธาตุ การเกิดสารประกอบอนินทรีย์ต่างๆ และปฏิกิริยาของสารประกอบเหล่านั้น ในการอธิบายถึงอะตอมและโครงสร้างของโมเลกุลต้องใช้ทฤษฎีต่างๆ ที่เกี่ยวข้องกับ กลศาสตร์ควอนตัม<sup>\*</sup> (quantum mechanics) อย่างไรก็ตามการเสนอเนื้อหาในบทนี้จะมีพื้นฐานทางคณิตศาสตร์เท่าที่จำเป็นเพียงพอที่จะอธิบายโครงสร้างของอะตอมและโมเลกุลในเชิงคุณภาพ (qualitative) หรือเชิงกึ่งปริมาณ (semiquantitative) เท่านั้น

### 1.1 กำหนดของอะตอมและธาตุต่างๆ

จากการที่สังเกตเห็นว่าจักรวาล (universe) นั้นแผ่ขยายออกไปเรื่อยๆ นำมาสู่การตอบคำถามที่ว่าจักรวาลนี้กำหนดขึ้นมาเมื่อใด วัตถุแรกเริ่ม (starting material) ไม่ว่าจะเป็น พลังงาน (energy) หรือสาร (matter) มาจากไหน ทฤษฎีที่ได้รับการยอมรับมากที่สุดเมื่อไม่นานมานี้คือ ทฤษฎีการระเบิดครั้งใหญ่ (The Big Bang Theory) ซึ่งกล่าวว่าจักรวาลของเราได้เริ่มต้นเมื่อ  $1.8 \times 10^{10}$  ปีมาแล้ว โดยที่สารทั้งมวลได้ถูกทำให้เข้มข้นอยู่ในบริเวณที่เล็กที่สุด (point like region) ด้วยพลังงานที่สูงมากจึงระเบิดขึ้น เชื่อว่าอุณหภูมิแรกเริ่มหลังการระเบิดนี้ประมาณ  $10^9$  เคลวิน(K) ในขณะนั้nonุภาคต่างๆยังมีพลังงานจนสูงมากเกินกว่าที่จะรวมกัน อย่างไรก็ตามเมื่อจักรวาลนี้แผ่ขยายออกไปและเย็นลง อนุภาคต่างๆ

\* กลศาสตร์ควอนตัม (quantum mechanics) : ระบบกลศาสตร์ที่พัฒนาจากทฤษฎีควอนตัมใช้อธิบายสมบัติต่างๆของอะตอมและโมเลกุล รูปแบบของระบบนี้เรียกว่ากลศาสตร์คลื่น (wave mechanics)

กีเคลื่อนที่ช้าลง และเริ่มที่จะรวมกันภายใต้อิทธิพลของแรงต่างๆ อันเป็นต้นกำเนิดของการสร้างอะตอม นิวตรอน (neutrons) เกิดขึ้นก่อนแล้วจึงถลายออกย่างรวดเร็วคั่วครึ่งชีวิต (half-life) เท่ากับ 11.3 นาที ให้ไปรดอน (protons) อิเล็กตรอน (electrons) และแอนตินิวตรино (antineutrinos)



เพียงครึ่งชีวิตเดียวของนิวตรอน สารในจักรวาลก็มีไปรดอนอยู่ถึงครึ่งหนึ่ง และคั่วระยะเวลาที่นานาจังหวะรวม (bind) อนุภาคเหล่านี้เป็นนิวเคลียส (nucleus) ในทำนองเดียวกันคั่วระยะเวลาแม่เหล็กไฟฟ้า (electromagnetic force) ซึ่งเป็นแรงระหว่างประจุแต่ละชนิด กิโลกรัม จะคงดูดอิเล็กตรอนเข้าหากันนิวเคลียสเพื่อก่อเป็นอะตอมขึ้น

นิวเคลียสต่างๆ (nuclei) เปียนแทนได้ด้วยสัญลักษณ์  ${}^A_Z X$

เมื่อ  $X =$  สัญลักษณ์

$A =$  มวลของนิวเคลียส (mass of nucleus)

$Z =$  ประจุของนิวเคลียส (charge of nucleus)

นิวเคลียสต่างๆ ที่เกิดขึ้นในขบวนการแรกๆ ได้แก่  ${}_1^1 H$   ${}_2^2 H$   ${}_2^3 He$  และ  ${}_2^4 He$  จากนั้นวัตถุต่างๆ ที่ได้จากปฏิกิริยาเริ่มแรกนี้จะเข้ารวมกันเป็นกลุ่มเกิดดาวต่างๆ ที่มีความหนาแน่นมากขึ้น ซึ่งความคันของแรงโน้มถ่วงยังคงทำให้อุณหภูมิสูงอยู่และเกิดปฏิกิริยาต่อมาเรื่อยๆ ไฮโดรเจนและไฮเดรนจะเข้ารวมกับไปรดอนและนิวตรอนเกิดธาตุหนักต่อๆ มาขณะเดียวกันก็ได้อนุภาคย่อยของอะตอม (subatomic particles) ต่างๆ เกิดขึ้นมาคั่วในขบวนการเหล่านี้ เช่น อนุภาคแอลฟ่า (alpha) โพซิตรอน (positron) อนุภาคแกมมา (gamma) นิวตรино (neutrino) เป็นต้น ตารางที่ 1.1 เป็นตัวอย่างและสมบัติของอนุภาคย่อยของอะตอม

\* ครึ่งชีวิต (half-life) : คือเวลาที่ต้องใช้ในการที่อะตอมหรืออนุภาคใดๆ จะถลาย (decay) ไปครึ่งหนึ่งและเป็นลักษณะเฉพาะตัวของแต่ละไอโซโทป

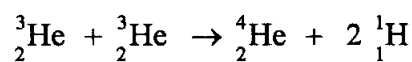
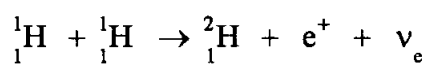
## ตารางที่ 1.1 อนุภาคย่อยของอะตอมและสมบัติต่างๆ

อนุภาค	สัญลักษณ์	มวล	ประจุ*	สปิน
อิเล็กตรอน	$e^-$	$9.1096 \times 10^{-31}$ กิโลกรัม $5.485803 \times 10^{-4}$ หน่วยมวลอะตอม#	-1	1/2
โปรตอน	p	$1.6726 \times 10^{-27}$ กิโลกรัม 1.007276 หน่วยมวลอะตอม	+1	1/2
นิวตรอน	n	$1.6749 \times 10^{-27}$ กิโลกรัม 1.008665 หน่วยมวลอะตอม	0	1/2
โพซิตรอน	$e^+$	$9.1096 \times 10^{-31}$ กิโลกรัม $5.485803 \times 10^{-4}$ หน่วยมวลอะตอม	+1	1/2
โฟตอน	$\gamma$	0	0	1
นิวตรีโน	$\nu_e$	0	0	1/2
อนุภาคแอลฟ่า	$\alpha$	[ ${}_2^4\text{He}$ นิวเคลียส]	+2	0
อนุภาคเบต้า	$\beta$	[ $e^-$ ที่ออกจากนิวเคลียส]	-1	1/2
โฟตอนแกมมา	$\gamma$	[รังสีแม่เหล็กไฟฟ้าจากนิวเคลียส]	0	1

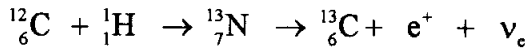
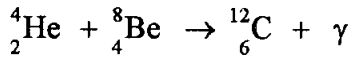
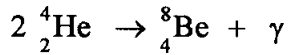
\* ผลคูณของประจุเบื้องต้น,  $1.6022 \times 10^{-19}$  คูลโอมบ์ (C)

# 1 หน่วยมวลอะตอม(amu) =  $1.6606 \times 10^{-27}$  กิโลกรัม (kg)

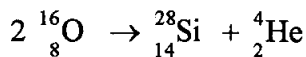
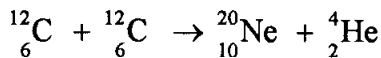
ตัวอย่างของปฏิกิริยาการเกิดนิวเคลียสในกระบวนการแรกๆ ได้แก่การเผาไหม้ของไฮdroเจน (hydrogen burning)



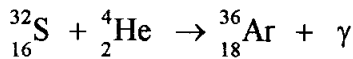
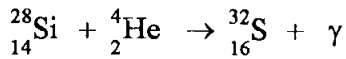
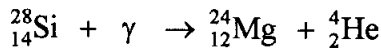
ในขณะที่อุณหภูมิภายในดวงดาวยังคงสูงอยู่ ปฏิกิริยาเหล่านี้จะเกิดต่อเนื่องไปเรื่อยๆ ได้จนนิวเคลียสหนักขึ้น ในบรรดาปฏิกิริยาเหล่านี้มีการเผาไหม้ของฮีเลียม (helium burning) รวมอยู่ด้วย



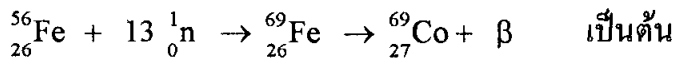
นอกจากนี้ในการเกิดชาตุหนักจะพบปฏิกิริยาดังต่อไปนี้ด้วย เช่น



และถ้าอุณหภูมิยังสูงอยู่ อาจจะพบปฏิกิริยาต่อไปนี้ เช่น



ทั้งนี้การเกิดนิวเคลียสของชาตุหนักๆ ขึ้นอยู่กับความสัมพันธ์ระหว่างเสถียรภาพของทั้ง 2 ชาตุ อุณหภูมิและช่วงอายุของดวงดาว ชาตุที่หนักมากๆ มักจะเกิดจากการรวมนิวตรอนเข้ากับนิวเคลียส และตามด้วยการสลายให้ออกล่องออกมานั่นเอง ตัวอย่างของปฏิกิริยาที่มีความหนาแน่นของนิวตรอนสูง ได้แก่



โดยทั่วไป ชาตุหนักมากๆ มักจะเกิดโดยปฏิกิริยาแบบนี้

พบว่าปริมาณ (abundances) ของชาตุที่พบในจักรวาลมากที่สุด คือ H และ He รองมาโดย O N Si และ Fe ซึ่งแนวโน้มของปริมาณของชาตุในโลกของเราก็คล้ายคลึงกับของในจักรวาล

## 1.2 ทฤษฎีความตันของแพลนค์ (Planck's Quantum Theory)

ในปี 1902 แพลนค์ได้ศึกษาแสงซึ่งมีความถี่ต่างๆ ที่แผ่รังสีจากเทหวัตถุ (body) สีคำที่ร้อน จากการศึกษาแสงเหล่านี้เขาได้เสนอทฤษฎีที่เรียกว่า ทฤษฎีความตันของการแผ่รังสี (Quantum Theory of Radiation) ที่ว่า วัตถุสีคำจะปล่อย (emit) หรือดูดกลืน (absorb) พลังงาน (แสงหรือความร้อน) อย่างไม่ต่อเนื่อง แต่จะเป็นจำนวนเต็มหน่วยของกลุ่มพลังงาน เดิมๆ ที่เรียกว่า ความตัน (quantum) พลังงานของแต่ละความตันเท่ากับผลคูณของค่าคงที่ของแพลนค์ ( $\hbar$ ) และความถี่ ( $v$ ) ของรังสี นั่นคือ

$$E = \hbar v \quad \text{หรือ} \quad E = \frac{hc}{\lambda} \quad \text{หรือ} \quad E = hc\bar{v}$$

เมื่อ  $c$  = ความเร็วของรังสี (เมตรต่อวินาที)

$h$  = ค่าคงที่ของแพลนค์ =  $6.62620755 \times 10^{-34}$  จูลวินาที

$\lambda$  = ความยาวคลื่น (เมตร) และ  $\bar{v}$  = เลขคลื่น (ต่อเมตร)

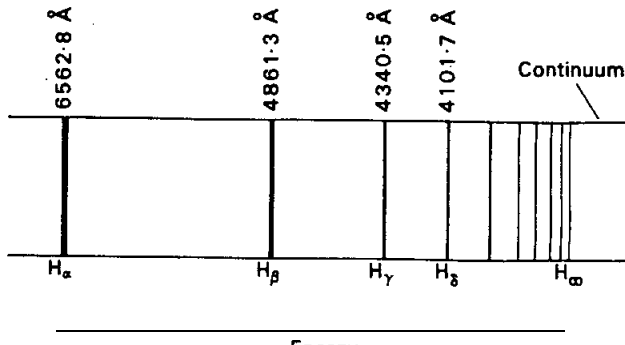
อิกส่องสามปีต่อมาไอน์สไตน์ (Einstein) ได้ขยายทฤษฎีความตันต่อไปอีกด้วย เสนอว่า พลังงาน(เช่นแสง) นอกจากจะถูกปล่อย หรือดูดกลืนเป็นกลุ่มๆ แล้วยังแผ่กระจายออกไปในปริภูมิ (space) เป็นกลุ่มๆ ด้วย แต่ละกลุ่มเรียกว่า โฟตอน (photon) จากทฤษฎีดังกล่าวนี้แสดงว่าแสงมีลักษณะเป็นคลื่นเช่นเดียวกับที่เป็นอนุภาค พลังงานและมวลของโฟตอนสัมพันธ์กันโดย  $E = mc^2$  ความสัมพันธ์ดังกล่าวเรียกว่า ความสัมพันธ์ระหว่าง มวล - พลังงานของไอน์สไตน์

## 1.3 อะตอมมิคスペกตรของไฮโดรเจน

การศึกษารังสีที่ถูกดูดกลืนหรือถูกปล่อยของอุบัติการณ์ในอะตอมเรียกว่า สเปกโตรสโคปี (spectroscopy)

ถ้าผ่านกระแทไฟฟ้าไปยังแก๊สไฮโดรเจนที่มีความดันต่ำ ไฮโดรเจนอะตอมจะปล่อยแสงออกมายในช่วงที่มองเห็นได้ (visible region) เป็นอนุกรมของเส้นสเปกตรัมที่แต่ละเส้น มีความถี่เฉพาะ จากการศึกษาด้วยเครื่องสเปกโตรสโคป (spectroscope) หรือเครื่องสเปก

โทรโฟโตมิเตอร์ (spectrophotometer) จะมองเห็นด้วยตาเปล่า 4 เส้น นอกนั้นจะเห็นในรูปค่าในช่วงอัลตราไวโอเลต (UV region) สเปกตรัมแต่ละเส้นสอดคล้องกับความถี่เฉพาะของเส้นนั้น เส้นต่างจะซิดกันมากขึ้นเมื่อความยาวคลื่น ค่อยๆลดลงจนเกิดความต่อเนื่องดังรูปที่ 1.1



รูปที่ 1.1 สเปกตรัมของไฮโตรเจนในช่วงที่มองเห็นได้ (อนุกรมบัลเมอร์)

ในสเปกโตรสโคปี ความถี่มักจะเขียนแสดงเป็นเลขคลื่น (wave number)  $\bar{v}$  เมื่อ  $\bar{v} = 1/\lambda$  ซึ่งเราอาจ假定ว่าเป็นจำนวนความยาวคลื่นซึ่งพอดีกับ 1 เมตร ดังนั้นถ้าความยาวคลื่นถี่น้ำ (ความถี่สูง) เลขคลื่นจะมีค่ามาก เลขคลื่นของแสงในช่วงที่มองเห็นได้ปกติจะมีค่าประมาณ  $2 \times 10^6$  ต่อมเมตร ส่วนในช่วงอัลตราไวโอเลต จะมีค่าเข้าใกล้  $10^7$  ต่อมเมตร ในปี 1885 บัลเมอร์ (Balmer) ได้แสดงเลขคลื่นของเส้นสเปกตรัมต่างๆ ในช่วงที่มองเห็นได้ของไฮโตรเจนอะตอม โดยสูตรง่ายๆดังนี้ :

$$\bar{v} = R_H \left( \frac{1}{2^2} - \frac{1}{n^2} \right)$$

เมื่อ  $R_H$  = ค่าคงที่ของริดเบิร์ก (Rydberg constant) สำหรับไฮโตรเจน เท่ากับ  $1.096776 \times 10^7$  ต่อมเมตร หรือ  $1,312.0$  กิโลจูลต่้อมอล หรือ  $13.6$  อิเล็กตรอนโวลต์

และ  $n$  = เลขจำนวนเต็ม ตั้งแต่  $3, 4, 5, 6, \dots$

เส้นต่างๆที่มองเห็นได้นี้เรียกว่า อนุกรมบัลเมอร์ (Balmer's series) นอกจากนี้ยังมีอนุกรมของสเปกตรานิช่วงๆอื่นอีก ริดเบิร์กซึ่งศึกษารายละเอียดของสเปกตรัมต่อๆ มาจึงได้เสนอสมการแสดงความสัมพันธ์ทั่วไปสำหรับเลขคลื่นของเส้นสเปกตรัม เรียกว่า สมการของริดเบิร์ก (Rydberg equation)

$$\bar{v} = R_H \left( \frac{1}{m^2} - \frac{1}{n^2} \right)$$

เมื่อ  $R_H$  ก็คือค่าคงที่ของริดเบิร์ก  $m$  และ  $n$  = เลขจำนวนเต็มซึ่ง  $m$  คงที่และ  $n$  แยกเส้นหนึ่งไปยังอีกเส้นหนึ่งในอนุกรม ค่าของ  $m$  และ  $n$  สำหรับอนุกรมต่างๆ แสดงในตารางที่ 1.2

ตารางที่ 1.2 ค่าของ  $m$  และ  $n$  สำหรับอนุกรมต่างๆ ของสเปกตรัม

อนุกรมสเปกตรัม	ค่าของ $m$	ค่าของ $n$	ช่วงที่เกิดสเปกตรัม
อนุกรมลายแม่น (Lyman series)	1	2,3,4,5,....	อัลตราไวโอลেต
อนุกรมบัลเมอร์ (Balmer series)	2	3,4,5,6,.....	ช่วงที่มองเห็นได้/อัลตราไวโอล็อก
อนุกรมพาสเคน (Paschen series)	3	4,5,6,7,.....	อินฟราเรด
อนุกรมแบรกเกตต์ (Brackett series)	4	5,6,7,8,.....	อินฟราเรด
อนุกรมพันด์ (Pfund series)	5	6,7,8,9,...	อินฟราเรด

#### 1.4 ภาพของอะตอมและทฤษฎีของบอห์ร (Bohr Theory)

นอกจากสเปกตรัมของอะตอมแล้ว ได้มีผู้พยายามศึกษาภาพของอะตอมโดยวิธีต่างๆ ในปี 1896 เจ.เจ. ทอมสัน (J.J. Thomson) ได้แสดงว่า ถ้าให้ศักยไฟฟ้าสูงๆ ผ่านก๊าซจะได้ออนุภาคประจุลบซึ่งมีน้ำหนักเบา นั่นคือ ภายในอะตอมย่อมมีอิเล็กตรอน ต่อมาในปี 1911 รัทเทอร์ฟอร์ด (Rutherford) และผู้ร่วมงาน ได้ทดลองยิงอนุภาคแอลฟ่า ( ${}^4_2\text{He}$ ) ผ่านแผ่นทองคำ ปรากฏว่าอนุภาคส่วนใหญ่จะผ่านทะลุทองคำไปได้ มีส่วนน้อยที่จะสะท้อนกลับเป็นมุมกว้าง รัทเทอร์ฟอร์ดสรุปว่า อะตอมจะมีส่วนที่ว่างมาก ซึ่งเป็นบริเวณของอิเล็กตรอนที่ล้อมรอบอยู่ และส่วนที่มีขนาดเล็กแต่หนัก ซึ่งอยู่ตรงกลางคือนิวเคลียส ที่มีประจุบวก และบริเวณนี้เอง ที่อนุภาคแอลฟ่าจะสะท้อนกลับ เนื่องจากมีประจุเหมือนกับนิวเคลียส ในปี 1913 โมสเลย์ (Moseley) ได้ทำให้ภาพของอะตอมสมบูรณ์ขึ้น โดยการวัดความยาวคลื่นของรังสีเอกซ์ (X-rays) ซึ่งปล่อยออกจากธาตุที่ถูกยิงโดยลำแสงอิเล็กตรอน

ด้วยโวตต์สูง เข้าพบว่ากรณ์ (root) ที่สองของความถี่ของรังสีเอกซ์ที่ปล่อยออกมานั้นเปรียบเทียบกับเลขอะตอมซึ่งมีค่าประมาณครึ่งหนึ่งของมวลอะตอม (atomic mass) แสดงว่า เลขอะตอมนั้นมีความสำคัญพื้นฐานมากกว่ามวล ส่วนประจุของนิวเคลียส (Z) จะทำให้กับเลขอะตอม ผลการทดลองนี้ ยังสามารถอธิบายถึงข้อขัดแย้งในตารางธาตุบางแห่ง ซึ่งลำดับของนำหนักอะตอมนั้นไม่เหมือนกับลำดับของเลขอะตอม (ตัวอย่างเช่น Co และ Ni Te และ I เป็นต้น) ซึ่งจะได้พบในเรื่องตารางธาตุต่อไป

นิลส์ บอร์ (Niels Bohr) ได้รวบรวมความคิดเหล่านี้ และในปี 1913 ได้เสนอภาพของอะตอมที่มีนิวเคลียสตั้นอยู่ในวงโคจร (orbit) คล้ายกับดาวเคราะห์รอบดวงอาทิตย์ด้วยนทุมลฐาน (postulates) ดังต่อไปนี้ :

(1) แต่ละวงโคจรรอบนิวเคลียสจะมีพลังงานที่แน่นอน และวงโคจรเหล่านั้นเรียกว่าเป็น ระดับพลังงาน (energy levels) หรือ ชั้นพลังงาน (energy shell) ตั้งแต่ 1, 2, 3...เริ่มจากนิวเคลียส กำหนดด้วยตัวอักษร K, L, M..... ตามลำดับ พลังงานในแต่ละชั้นจะเพิ่มขึ้นเมื่อระดับของวงโคจรที่ห่างจากนิวเคลียสเพิ่มขึ้น ถ้า  $E_1$ ,  $E_2$  และ  $E_3$  แทนพลังงานที่เกี่ยวข้องกับระดับพลังงานในชั้น 1, 2, และ 3 ตามลำดับ ดังนั้น  $E_1 < E_2 < E_3$  ..... ด้วยเหตุนี้ระดับพลังงานในชั้นนอก จะมีพลังงานสูงกว่า ระดับพลังงานภายใน

(2) ในขณะที่อิเล็กตรอนหมุนรอบนิวเคลียสในวงโคจรหนึ่งๆ พลังงานของอิเล็กตรอนนั้นจะคงที่ ถาวรสั่นนี้เรียกว่า อะตอมอยู่ในสถานะพลังงานคงที่ (stationary state) อย่างไรก็ตาม เมื่ออิเล็กตรอนกระโดดจากระดับพลังงานหนึ่งไปยังอิกระดับหนึ่งอะตอมจะปล่อยหรือดูดกลืนพลังงานจำนวนหนึ่ง ปริมาณของพลังงาน ( $\Delta$ ) จำนวนนี้ได้จากสมการของแพลงค์ ก็คือ  $\Delta E = h\nu$  เมื่อ  $\nu$  คือความถี่ของพลังงาน (รังสี) ที่ถูกปล่อยหรือดูดกลืน

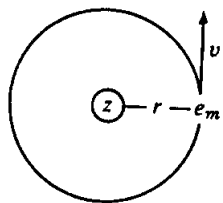
(3) ถึงแม้ว่าวงโคจรที่อิเล็กตรอนตัวหนึ่งจะเคลื่อนที่ไปรอบนิวเคลียสนั้นจะมีเป็นจำนวนอนันต์ แต่อิเล็กตรอนจะสามารถเคลื่อนที่ได้เฉพาะในวงโคจร ซึ่งค่าโนเมนตัม

เชิงมุม ( $mvr$ ) ของอิเล็กตรอนนั้น ควอนไทซ์\* (quantized) นั่นคือ ค่าโน้มnenตั้มเชิงมุมของ อิเล็กตรอน จะเป็นผลคูณของเลขจำนวนเต็มหน่วยของควอนตัม ( $\frac{h}{2\pi}$ )

$$mvr = n \cdot \frac{h}{2\pi}$$

เมื่อ  $m$  คือมวลของอิเล็กตรอน ;  $v$  เป็นความเร็วตามแนวเส้นสัมผัสของอิเล็กตรอน ในวงโคจร ;  $r$  เท่ากับระยะทางระหว่างอิเล็กตรอนและนิวเคลียส ส่วน  $n$  เป็นเลขจำนวนเต็มซึ่งบอห์เรียกว่า เลขควอนตัมหลัก (principal quantum number) นั่นคือชั้นพลังงาน ต่างๆ ในข้อ (1) นั้นเอง

จากข้อสมมติดังกล่าวมาแล้ว เราอาจมองภาพของแบบจำลองสำหรับอะตอมที่เหมือนกับไฮdroเจน (hydrogen-like atom) ได้ดังรูปที่ 1.2 คือประกอบด้วย นิวเคลียสซึ่งหนักมีประจุ  $Ze$  (เมื่อ  $Z$  เป็นเลขอะตอมและ  $e$  เป็นขนาดของประจุบนอิเล็กตรอน) มีอิเล็กตรอนประจุ  $e$  และมวล  $m$  เคลื่อนที่ด้วยความเร็ว  $v$  ในวงโคจรัศมี  $r$  จากนิวเคลียส



รูปที่ 1.2 แบบจำลองสำหรับอะตอมที่เหมือนไฮdroเจนของบอห์

\* ควอนไทซ์ (quantized) : อธิบายถึงปริมาณทางกายภาพ ซึ่งจะมีอยู่เป็นค่าที่แยกออกจากกัน ไม่ใช่ค่าต่อเนื่อง ตัวอย่างเช่น สาร พลังงาน ประจุไฟฟ้า เป็นต้น ซึ่งกลศาสตร์ควอนตัม ต่างกับกลศาสตร์คลาสสิกตรง这一点

โดยการประยุกต์แนวคิดของความไทยเข้าบันของพลังงานและกฎของกลศาสตร์คลาสสิก นองห์ได้คำนวณสมการทางคณิตศาสตร์สำหรับรัศมีของวงโคจรและพลังงานของอิเล็กตรอนในวงโคจรนั้นๆ โดยถือว่าการที่อิเล็กตรอนยังคงอยู่ในวงโคจรได้แรงดึงดูดทางไฟฟ้าสถิตย์ระหว่างอิเล็กตรอนและนิวเคลียสซึ่งจะคงอิเล็กตรอนเข้าสู่นิวเคลียสจะต้องเท่ากับแรงเหวี่ยงออก (centrifugal force) ซึ่งจะเหวี่ยงอิเล็กตรอนออกนอกวงโคจร

$$\text{เมื่อแรงเหวี่ยงออกจากศูนย์กลาง} = \frac{mv^2}{r}$$

ถ้าประจุบนอิเล็กตรอนเป็น  $e$  จำนวนประจุที่นิวเคลียสเท่ากับ  $Z$  และเพอร์เมตติวิตี้ (permittivity) ของสัญญาากาศเป็น  $\epsilon_0$

$$\begin{aligned} \text{แรงดึงดูดคูลอมบิก} &= \frac{Ze^2}{4\pi\epsilon_0 r^2} \\ \frac{mv^2}{r} &= \frac{Ze^2}{4\pi\epsilon_0 r^2} \end{aligned} \quad (1.1)$$

$$\text{ด้วยเหตุนี้} \quad v^2 = \frac{Ze^2}{4\pi\epsilon_0 mr} \quad (1.2)$$

$$\text{จากบทนูณฐานของนองห์} \quad mvr = n \frac{h}{2\pi} \quad (\text{เมื่อ } n = 1, 2, 3, \dots, \infty)$$

$$\begin{aligned} \text{จะได้ว่า} \quad v &= \frac{nh}{2\pi mr} \\ \text{และ} \quad v^2 &= \frac{n^2 h^2}{4\pi^2 m^2 r^2} \end{aligned}$$

แทนค่า  $v^2$  จากสมการ (1.2)

$$\begin{aligned} \frac{Ze^2}{4\pi\epsilon_0 mr} &= \frac{n^2 h^2}{4\pi^2 m^2 r^2} \\ \text{นั่นคือ} \quad r &= \frac{\epsilon_0 n^2 h^2}{\pi m e^2 Z} \end{aligned} \quad (1.3)$$

สำหรับไฮโตรเจนอะตอมซึ่ง  $Z = 1$  และค่า  $\epsilon_0 = 8.8542 \times 10^{-12}$  คูลอมบ์ต่อ เมตรต่อชูล ,  $h = 6.6262 \times 10^{-34}$  จูลวินาที ,  $m = 9.1096 \times 10^{-31}$  กิโลกรัม,  $e = 1.6022 \times 10^{-19}$  คูลอมบ์

$$\text{ถ้า } n = 1 \text{ จะได้ค่า } r = 1^2 \times 0.0529 \text{ นาโนเมตร}$$

$$n = 2 \quad r = 2^2 \times 0.0529 \quad \text{นาโนเมตร}$$

$$n = 3 \quad r = 3^2 \times 0.0529 \quad \text{นาโนเมตร}$$

ค่า 0.0529 นาโนเมตร หรือ 52.9 พิคโคมטר นี้เรียกว่าเป็น รัศมีของบอร์ (Bohr radius) จากค่าต่างๆเหล่านี้จะให้ภาพของไฮโครเจนอะตอมซึ่งอิเล็กตรอนเคลื่อนที่ในวงโคจรวงกลมรัศมีแปรตาม  $1^2, 2^2, 3^2, \dots$  และจะให้พลังงานของมาเมื่ออิเล็กตรอนกระโดดจากวงโคจรหนึ่งไปยังอีกวงโคจรหนึ่งเท่านั้น เราทราบว่าพลังงานจลน์ (kinetic energy) ของอิเล็กตรอนเท่ากับ  $-\frac{1}{2}mv^2$  นั้นคือ

$$E = -\frac{1}{2}mv^2$$

แทนค่า  $v^2$  จากสมการ (1.2)

$$\text{ดังนี้} \quad E = -\frac{Ze^2}{8\pi\epsilon_0 r}$$

แทนค่า  $r$  จากสมการ (1.3) จะได้

$$E = -\frac{Z^2 e^4 m}{8\epsilon_0^2 n^2 h^2} \quad (1.4)$$

โดยที่พลังงานมีหน่วยเป็น焦耳

ถ้าอิเล็กตรอนกระโดดจากวงโคจรหนึ่ง ( $n_i$ ) ไปยังอีกวงโคจรหนึ่ง ( $n_f$ ) เกิดการ转化ชั้นของอิเล็กตรอน (electronic transition) ค่าพลังงานที่เปลี่ยนไปเท่ากับ  $\Delta E$

$$\begin{aligned} \Delta E &= \left[ -\frac{Z^2 e^4 m}{8\epsilon_0^2 n_i^2 h^2} \right] - \left[ -\frac{Z^2 e^4 m}{8\epsilon_0^2 n_f^2 h^2} \right] \\ &= \frac{Z^2 me^4}{8\epsilon_0^2 h^2} \left[ \frac{1}{n_f^2} - \frac{1}{n_i^2} \right] \end{aligned} \quad (1.5)$$

พลังงานที่เปลี่ยนไปนี้ได้จากการที่อะตอมดูดกลืนหรือปล่อยแสงออกมานอกข้อ 1.2 เราทราบแล้วว่าแสงซึ่งมีความถี่  $v$  ประกอบไปด้วยกระแส (stream) หรือกลุ่มของอนุภาคเรียกว่า โฟตอน แต่ละโฟตอนจะมีพลังงาน  $hv$  ดังนั้นถ้าความถี่ของแสงยิ่งสูง แต่ละโฟตอนก็ยิ่งมีพลังงานสูง และยิ่งความเข้ม (intensity) ของแสงมาก จำนวนโฟตอนก็ยิ่งมากขึ้น ด้วยเหตุนี้เมื่ออะตอมดูดกลืนหรือปล่อยโฟตอนซึ่งมีความถี่  $v$  พลังงานของ

อะตอมจะเพิ่มขึ้นหรือลดคลงเท่ากับ  $h\nu$  นั่นคือ

$$\Delta E = h\nu$$

และเนื่องจากพลังงานของอะตอมนั้นควบคุมไว้ (quantized) ดังนั้นจะมีค่าการเปลี่ยนแปลงพลังงานบางค่าเท่านั้นที่เป็นไปได้ และมีเพียงค่า  $\nu$  บางค่าเท่านั้นที่จะพบในการปล่อยหรือดูดกลืนแสง

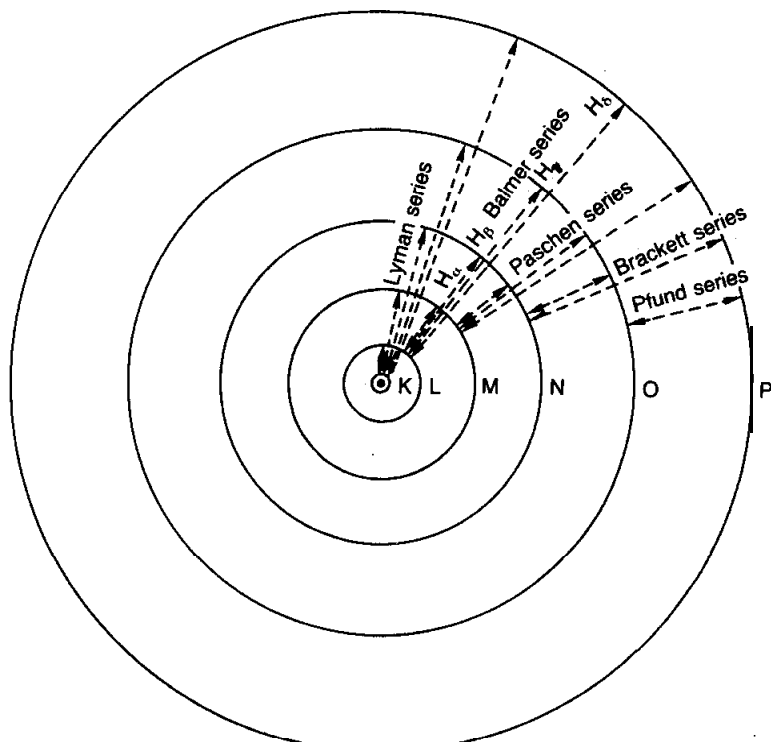
$$\text{จาก } AE = hc\bar{\nu}$$

แทนค่า  $\Delta E$  ใน (1.5) จะได้

$$\bar{\nu} = \frac{Z^2 me^4}{8\epsilon_0^2 h^3 c} \left[ \frac{1}{n_f^2} - \frac{1}{n_i^2} \right] \quad (1.6)$$

รวมค่าคงที่ทั้งหมดจะได้สมการทั่วไปเป็น

$$\bar{\nu} = R \left[ \frac{1}{n_1^2} - \frac{1}{n_2^2} \right] \quad * \text{สมการของริดเบอร์ก}$$



รูปที่ 1.3 วงโคจรของอนุรรและอนุกรมต่างๆ ของสเปกตรัมของไฮโดรเจน

$$\text{โดยที่ค่าคงที่ของริดเบอร์ก } R = \frac{Z^2 me^4}{8\varepsilon_0 h^3 c} \text{ และมีค่าจากการทดลองเท่ากับ } 1.097373 \times 10^{-7}$$

ต่อมเมตร

จากทฤษฎีของบอนด์นี้สามารถอธิบายสเปกตรของไฮโดรเจนอะตอม ซึ่งสอดคล้องกับสมการของริดเบอร์ก (ในที่นี้  $n_1$  และ  $n_2$  ก็คือ  $m$  และ  $n$  ในสมการเดิมนั้นเอง) การทราบชิ้นต่างๆที่เป็นไปได้ระหว่างวงโคจรต่างๆ แสดงดังรูปที่ 1.3

### 1.5 การพัฒนาทฤษฎีของบอนด์

ถ้านิวเคลียสหมุนรอบตัวเองอยู่กับที่ มวลของนิวเคลียสควรจะมีค่าอนันต์ (infinity) แต่จากการที่พบว่า อัตราส่วนของมวลของอิเล็กตรอนต่อมวลของไฮโดรเจนนิวเคลียสมีค่าเท่ากับ  $1/1836$  แสดงว่ามวลของนิวเคลียสมีค่าจำกัด (finite) และจริงๆ แล้วนิวเคลียสนั้นแกว่ง (oscillate) เล็กน้อยรอบจุดศูนย์ถ่วง ด้วยเหตุนี้มวลของอิเล็กตรอนจึงให้เป็นมวลลดทอน (reduced mass) นั่นคือ

$$\mu = \frac{mM}{m+M}$$

เมื่อ  $\mu$  = มวลลดทอนของอิเล็กตรอน

$m$  = มวลของอิเล็กตรอน

$M$  = มวลของนิวเคลียส

การที่นำมวลของนิวเคลียสมาคิดด้วย ทำให้อธิบายได้ว่าเหตุใดไฮโซโทป (isotopes) ของธาตุหนึ่งๆ จึงให้สเปกตรัมหลายเส้นที่เลขคณิตแตกต่างกันออกไปเล็กน้อย

จากภาพของไฮโดรเจนอะตอมของบอนด์ที่กล่าวถึงในหัวข้อที่ผ่านมา วงโคจรแต่ละชั้นให้อักษรเป็น K, L, M, N, ... จากรวงใน หรืออาจใช้เป็นตัวเลข 1, 2, 3, 4, ... ก็ได้ ตัวเลขเหล่านี้เรียกว่า เลขค่อนต้มหลัก (principal quantum number) ให้สัญลักษณ์ว่า “ $n$ ” โดยทั่วไปเรานั่งวงโคจรแต่ละวงด้วยค่า  $n$

การเคลื่อนที่ของอิเล็กตรอนจากวงโคจรหนึ่งไปยังอีกวงโคจรหนึ่งนั้น ควรจะให้สเปกตรัมเส้นเดียว (นั่นคือค่า  $\Delta E$  มีค่าแน่นอน) แต่จากเครื่องสเปกโตรมิเตอร์ที่มี

สำหรับการแยกสูง (high resolution) พบว่าในไฮโดรเจนอะตอมจะมีスペกตรัมเล็กๆ (fine spectrum) อยู่ใกล้กัน ซึ่งปรากฏการณ์นี้ ชื่อ Sommerfeld (Sommerfeld) อธิบายได้ในเทอมของวงโคจรรี (elliptical orbits) รอบๆ นิวเคลียส โดยถ้าเลขค่าอนตัม  $n = 1$  จะมีแต่วงโคจรกลม (circular orbit) แต่ถ้าเลขค่าอนตัม  $n \geq 2$  จะมีทั้งวงโคจรถลและวงโคจรรี และเพื่อที่จะนิยามวงโคจรรีด้วย จึงต้องมีเลขค่าอนตัมใหม่เรียกว่า เลขค่าอนตัมโมเมนตัมเชิงมุม ของออร์บิตัล (orbital angular momentum quantum number) มีสัญลักษณ์เป็น “ $I$ ”  $I$  จะมีค่าตั้งแต่ 0, 1, 2, ..., (n-1) สำหรับค่า  $n$  ใดๆ นั่นคือ

$$n = 1; I = 0$$

$$n = 2; I = 0, 1$$

$$n = 3; I = 0, 1, 2$$

$$n = 4; I = 0, 1, 2, 3$$

วงโคจร  $I$  เหล่านี้จะมีพลังงานแตกต่างกันเล็กน้อย ทำให้เห็นเส้นスペกตรานเพิ่มขึ้น

ในบางกรณียังพบอีกว่าเส้นスペกตรานเหล่านี้ยังแยกออก(split) เป็น 2 เส้น (doublet) ได้อีก อธิบายได้ว่าเกิดจากอิเล็กตรอนหมุน (spins) บนแกนตามเข็มนาฬิกา (clockwise) หรือทวนเข็มนาฬิกา (anticlockwise) พลังงานเกิดความไม่เท่ากัน เมนตัมเชิงมุมของสปินเท่ากับ  $m_s \cdot \frac{\hbar}{2\pi}$  เมื่อ ' $m_s$ ' คือ เลขค่าอนตัมสปิน (spin quantum number) ซึ่งมีค่าเท่ากับ  $\pm \frac{1}{2}$

นอกจากนี้ ซีแมน (Zeeman) ยังได้แสดงให้เห็นว่า ถ้าอะตอมอยู่ในสนามแม่เหล็กที่แรงจะเห็นเส้นスペกตรานเพิ่มขึ้นอีก ทั้งนี้ว่า โคจรจะมีการจัดเรียงทิศทาง(orientations) ที่แน่นอนก็เนื่องจากสนามแม่เหล็กภายนอกเท่านั้น การจัดเรียงแต่ละแบบเกี่ยวข้องกับเลขค่าอนตัมที่สี่ คือ เลขค่าอนตัมแม่เหล็ก (magnetic quantum number) สัญลักษณ์ “ $m_l$ ” ซึ่งมีค่าต่างๆ ตั้งแต่  $I, (I - 1), \dots, 0, \dots, (-I + 1), -I$  ด้วยเหตุนี้เส้นเดียวในスペกตรัมปกติจะปรากฏเป็น  $(2I + 1)$  เส้น เมื่อผ่านสนามแม่เหล็กเข้าไป

จะเห็นได้ว่าการอธิบายสเปกตรารของไฮโคลเรนอะตอม จำเป็นต้องใช้เลขค่าอนตัม ทั้งสี่ที่กล่าวมา รวมทั้งอะตอมอื่นๆ ก็สามารถอธิบายได้ในทำนองเดียวกัน

สัญลักษณ์(symbols)	ค่า (values)
เลขค่าอนตัมหลัก	$n$
เลขค่าอนตัมโมเมนตัมเชิงมุนของออร์บิทัล	$l$
เลขค่าอนตัมแม่เหล็ก	$m_l$
เลขค่าอนตัมสปิน	$m_s$
	$\pm \frac{1}{2}$

## 1.6 คลื่นอิเล็กตรอน (Electron Waves)

ทฤษฎีของボ壕ร์ ประสบความสำเร็จสำหรับระบบที่มีอิเล็กตรอนเดียว โดยเฉพาะไฮโคลเรนอะตอมในช่วงปี 1913 แต่สำหรับอะตอมอื่นที่มีหลายอิเล็กตรอนยังมีปัญหาเกี่ยวกับแรงผลักระหว่างอิเล็กตรอน (electron-electron repulsion) และในช่วงนั้นยังไม่มีแบบจำลองหรือวิธีใดๆ ในการแก้ปัญหาดังกล่าว จนกระทั่งในปี 1924 หลุยส์ เดอ บรอglie (Louis de Broglie) ได้เสนอว่าสาร (matter) มีสมบัติเป็นทั้งคลื่น (wave) และอนุภาค (particle) โดยความสัมพันธ์ดังนี้

$$\lambda = \frac{h}{mv}$$

เมื่อ  $h$  = ค่าคงที่ของแพลงค์ เราสามารถคำนวณความยาวคลื่นของวัตถุที่มีมวล  $m$  เคลื่อนที่ด้วยความเร็ว  $v$  ได้ สำหรับวัตถุที่มีมวลปกติ ความยาวคลื่นนี้มีค่าน้อยมาก ทำให้เราไม่ได้สังเกตสมบัติทางคลื่น แต่สำหรับอิเล็กตรอนซึ่งเป็นอนุภาคที่เล็กมากจะให้ผลที่ต่างจากวัตถุอื่นๆ ลองพิจารณาอิเล็กตรอนซึ่งเคลื่อนที่โดยความเร็ว  $1/10$  เท่าของแสง แทนค่าลงในสมการของเดอ บรอglie จะได้ค่า  $\lambda$  เท่ากับ  $2.42 \times 10^{-11}$  เมตร (หรือ 24.2 พิโคเมตร) ซึ่งเป็นความยาวคลื่นในช่วงของรังสีเอกซ์และสามารถตรวจพบได้ ด้วยเหตุนี้จึงกล่าวได้ว่า อิเล็กตรอนนั้นแสดงธรรมชาติ 2 แบบ (duality) คือ มีพฤติกรรมเป็นทั้งอนุภาค

และคลื่น ความก้าวหน้าต่อๆมาของทฤษฎีอะตอมจึงมีผลมาจากการค้นพบสมบัติคลื่น (wave property) ของอิเล็กตรอนนี้เอง

### 1.7 หลักความไม่แน่นอนของไฮเซนเบิร์ก (The Heisenberg Uncertainty Principle)

ต่อมาในปี 1926 เวอร์เนอร์ ไฮเซนเบิร์ก (Werner Heisenberg) ได้เสนอหลักความไม่แน่นอนว่า ในทางกลศาสตร์ความต้มเราไม่สามารถจะหาตำแหน่งและโมเมนตัมของอนุภาคอย่างถูกต้องแม่นยำได้พร้อมๆกัน ดังนี้

$$\Delta x \cdot \Delta p \geq \frac{h}{4\pi}$$

เมื่อ  $\Delta x$  = ความไม่แน่นอนของตำแหน่งอนุภาค

$\Delta p$  = ความไม่แน่นอนของโมเมนตัมของอนุภาค

$h$  = ค่าคงที่ของแพลนค์

นั่นคือ ถ้าค่า  $\Delta x$  น้อยลงหรือเรารสามารถทราบตำแหน่งของอนุภาคได้แม่นยำเท่าไร ค่า  $\Delta p$  ก็จะมากขึ้น หรือค่าของโมเมนตัมที่หาได้จะยิ่งห่างจากความถูกต้องมากขึ้น และในทำนองเดียวกันอาจหาค่าได้ตรงกันข้าม แต่ผลคูณของค่าทั้งสองอย่างน้อยจะต้องมีค่าเท่ากัน  $\geq \frac{h}{4\pi}$

จะเห็นได้ว่า หลักความไม่แน่นอนนี้ขัดแย้งกับความเป็นไปได้ในการที่จะบ่งถึงอิเล็กตรอนในวงโคจรใดวงโคจรหนึ่งรอบๆนิวเคลียส ซึ่งเราจำเป็นต้องทราบตำแหน่งและโมเมนตัมของอิเล็กตรอนที่เวลาใดเวลาหนึ่ง ดังนั้นแนวคิดของวงโคจรของอิเล็กตรอนจะเป็นไปได้ ก็ต่อเมื่อเราไม่พยาบานที่จะวัดตำแหน่งและโมเมนตัมให้ถูกต้องแน่นอน แต่ใช้ความน่าจะเป็น (probability) ในการหาอิเล็กตรอนที่ตำแหน่งใดตำแหน่งหนึ่งแทน อันเป็นที่มาของสมการคลื่น (wave equation) ของชโรคิงเงอร์ (Schrödinger) ซึ่งอธิบายอิเล็กตรอนและอะตอมในเทอมเหล่านี้ ผลที่ได้ (solutions) จากการแก้สมการคลื่น เรียกว่า

ฟังก์ชันคลื่น (wave function) มีสัญลักษณ์เป็น  $\psi$  และความน่าจะเป็นในการหาอิเล็กตรอนที่จุดใดจุดหนึ่งในปริภูมิ ซึ่งโคออร์ดิเนตเป็น  $x, y, z$  ก็คือ  $\psi^2(x, y, z)$

### 1.8 สมการคลื่นของชโรดิงเงอร์ (Schrödinger Wave Equation)

จากการควบไหเซชันของพลังงานที่ได้กล่าวไปแล้ว ทำให้เราทราบว่าอิเล็กตรอนในแต่ละวงโคจรจะมีค่าพลังงานจำกัดค่าใดค่าหนึ่ง พลังงานที่เป็นไปได้เหล่านี้เรารียกว่าระดับพลังงาน (energy levels) ซึ่งรายละเอียดของระดับพลังงานและฟังก์ชันคลื่นต่างๆ ได้จากการแก้สมการคลื่น ซึ่งเสนอโดย เออร์วิน ชโรดิงเงอร์ (Erwin Schrödinger) ในปี 1926 ขันเป็นต้นกำเนิดของทฤษฎีความตันสมัยใหม่และสมการพื้นฐานอีกสมการหนึ่งของกลศาสตร์ความตัน ซึ่งใช้ในการอธิบายอิเล็กตรอน อะตอมและโน้ตเเกต

พิจารณาคลื่นในลักษณะเด่นเชือกที่สั่น มีความยาวคลื่น  $\lambda$  และมีแอมเพลจูด (amplitude) ที่จุดใดจุดหนึ่งตามแกน  $x$  อธิบายได้ด้วยฟังก์ชัน  $f(x)$

$$\frac{d^2 f(x)}{dx^2} = \frac{-4\pi^2}{\lambda^2} f(x)$$

ถ้าพิจารณาอิเล็กตรอนเป็นคลื่นที่เคลื่อนที่ในมิติ (dimension) เดียว ดังนี้

$$\frac{d^2 \psi}{dx^2} = \frac{-4\pi^2}{\lambda^2} \psi$$

เมื่อ  $\psi$  เป็นฟังก์ชันคลื่นของอิเล็กตรอน

แต่อิเล็กตรอนอาจเคลื่อนที่ใน 3 ทิศทาง  $x, y$ , และ  $z$  สมการบนจะกลายเป็น

$$\frac{\partial^2 \psi}{\partial x^2} + \frac{\partial^2 \psi}{\partial y^2} + \frac{\partial^2 \psi}{\partial z^2} = \frac{-4\pi^2}{\lambda^2} \psi$$

เมื่อ  $x, y, z$  เป็นแกนการตราชยนซึ่งบ่งตำแหน่งในปริภูมิ โดยมีนิวเคลียสอยู่ที่จุด

$(0, 0, 0)$

ให้สัญลักษณ์  $\nabla$  แทนอนุพันธ์ย่อย (partial differentials)

$$\nabla^2 \psi = \frac{-4\pi^2}{\lambda^2} \psi$$

จากความสัมพันธ์ของเคอ บรอกก์

$$\begin{aligned}
 \lambda &= \frac{\hbar}{mv} \\
 \text{ดังนั้น} \quad \nabla^2\psi &= \frac{-4\pi^2 m^2 v^2}{\hbar^2} \psi \\
 \text{หรือ} \quad \nabla^2\psi + \frac{4\pi^2 m^2 v^2}{\hbar^2} \psi &= 0 \quad (1.7)
 \end{aligned}$$

พลังงานรวม (E) ของระบบประกอบด้วยพลังงานจลน์ (K) และพลังงานศักย์ (V)

$$\begin{aligned}
 K &= E - V \\
 \text{แต่} \quad K &= \frac{1}{2}mv^2 \\
 \text{ดังนั้น} \quad \frac{1}{2}mv^2 &= E - V \\
 v^2 &= \frac{2}{m}(E - V)
 \end{aligned}$$

แทนค่า  $v^2$  ใน (1.7)

$$\begin{aligned}
 \nabla^2\psi + \frac{8\pi^2 m}{\hbar^2}(E - V)\psi &= 0 && \text{สมการช์โรดิγเมอร์*} \\
 \frac{-\hbar^2}{8\pi^2 m}(\nabla^2\psi) + V\psi &= E\psi
 \end{aligned}$$

ถ้าแฮมิลโลนเนียนโอบะเรเตอร์ (Hamiltonian operator)  $\mathcal{H} = \frac{-\hbar^2}{8\pi^2 m} \nabla^2 + V$

เราสามารถเขียนสมการช์โรดิγเมอร์ได้อีกรูปหนึ่งคือ

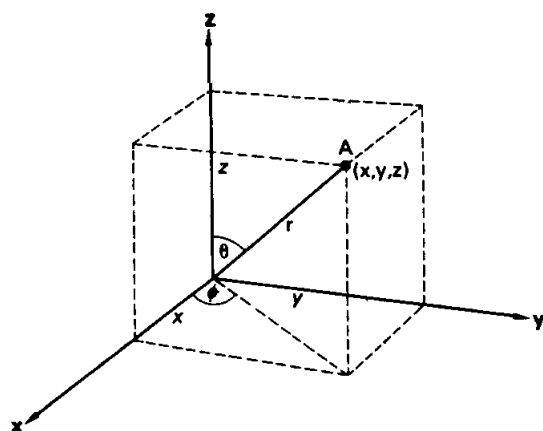
$$\boxed{\mathcal{H}\psi = E\psi}$$

การประยุกต์ของสมการนี้ก็โดยการคำนวณค่า  $\psi$  ซึ่งมีสมบัติเดเมื่อันแอนพลิจูดของคลื่นอิเล็กตรอนและอัตราส่วนพุติกรรมของอิเล็กตรอนในแต่ละวงโคจร ค่า  $\psi^2$  คือความหนาแน่นของความน่าจะเป็น (probability density) ในการหาอิเล็กตรอนซึ่งเป็นฟังก์ชันของตำแหน่งเมื่อเทียบกับนิวเคลียส และเนื่องจากจำนวนจุดต่างๆ ในปริภูมิมีค่าอนันต์ (infinity) ค่าที่เกิดขึ้นจากการนี้ก็ย่อมจะมีค่าอนันต์ด้วย ดังนั้นจึงมีเงื่อนไขซึ่งมีขอบเขต (boundary conditions) 4 ข้อ คือ

- 1) พิจารณาค่าเดียว (*single value*) คือจะมีความหนาแน่น อิเล็กตรอนเพียงค่าเดียว ที่จุดใดจุดหนึ่งในปริภูมิ
- 2) พิจารณาค่าเดียว  $\psi$  และอนุพันธ์ของพิจารณาค่าต่อเนื่อง(*continuous*) นั่นคือโอกาสที่จะพบอิเล็กตรอนจะไม่เปลี่ยนแปลงทันทีทัน刻จากจุดหนึ่งไปยังจุดหนึ่ง
- 3) พิจารณาค่าเดียว  $\psi$  จะต้องมีค่าจำกัด (*finite*)
- 4) ความน่าจะเป็นในการหาอิเล็กตรอนในปริภูมิจาก  $-\alpha$  ถึง  $+\alpha$  ต้องเท่ากับหนึ่ง นั่นคือพิจารณาค่าต้องนอร์มัลไลส์ (*normalized*)

$$\int_{-\alpha}^{+\alpha} \psi^2 dx dy dz = 1$$

การแก้สมการของชาร์จเมอร์กาย ให้เงื่อนไขดังกล่าวนี้ทำได้เด่นชัดในทางคณิตศาสตร์ ดังนั้นจึงมีการแก้ไขโดยเปลี่ยนจากแกนการติดเชิงเป็นแกนโพลาร์ซึ่งจุดในปริภูมนิยามในเทอมของ  $r$ , ระหว่างจากนิวเคลียส และมุม  $2\theta$  คือ  $\theta$  และ  $\phi$  ดังรูปที่ 1.4



รูปที่ 1.4 แกนโพลาร์ (polar coordinates)

## แกนโโคออร์ดิเนตทั้งสองสามพันธ์กันโดย

$$\begin{aligned} z &= r \cos\theta \\ y &= r \sin\theta \sin\phi \\ x &= r \sin\theta \cos\phi \end{aligned}$$

ปกติสมการชีโอดิงເອງจะເຂີຍເປັນ

$$\nabla^2 \psi + \frac{8\pi^2 m}{h^2} (E - V) \psi = 0$$

ເມື່ອ

$$\nabla^2 \psi = \frac{\partial^2 \psi}{\partial x^2} + \frac{\partial^2 \psi}{\partial y^2} + \frac{\partial^2 \psi}{\partial z^2}$$

ດ້າເຂີຍເປັນແກນໂພລາວ໌  $\nabla^2 \psi$  ຈະກລາຍເປັນ

$$\nabla^2 \psi = \frac{1}{r^2} \frac{\partial}{\partial r} (r^2 \frac{\partial \psi}{\partial r}) + \frac{1}{r^2 \sin^2 \theta} \frac{\partial^2 \psi}{\partial \phi^2} + \frac{1}{r^2 \sin \theta} \frac{\partial}{\partial \theta} (\sin \theta \frac{\partial \psi}{\partial \theta})$$

ທຳໃຫ້ສາມາຮັບແບ່ງພິງກໍ່ສັນຄົ່ນທີ່ໜ້າມດີເປັນ 3 ສ່ວນ

$$\psi(r, \theta, \phi) = R(r) \cdot \Theta(\theta) \cdot \Phi(\phi)$$

ເທຩອນ  $R(r)$  ເກີ່ວຂ້ອງກັບຮະບະທາງຈາກນິວເຄີຍສແລະ ໄນມີທີ່ສາມາຮັບແບ່ງພິງກໍ່ສັນເຊີງຮັບມື (radial function) ອີກສອງເທອນເຮັດວຽກວ່າພິງກໍ່ສັນເຊີງນຸ່ມ (angular function) ຜຶ່ງນີ້ຂໍອມູນຄຸນອົກຄົງທີ່ສາມາຮັບແບ່ງພິງກໍ່ສັນຕ້ອງ

### 1.8.1 ພິງກໍ່ສັນຄົ່ນເຊີງຮັບມື (Radial Wavefunction)

ສໍາຫຼັບສ່ວນຂອງຮັບມື  $R(r)$  ອຸນຸກຮນຂອງສາມາຮັບແບ່ງພິງກໍ່ສັນໄປຕາມເຈື່ອນໄຂທີ່ໄດ້ກລ່າວມາ ທຳໃຫ້ໄດ້ເລີກຄວນຕົ້ນ  $n$  ແລະ  $l$  ແຕ່ລະສາມາຮັບແບ່ງພິງກໍ່ສັນຈະເປັນກະລຸນາ (combination)  $n$  ແລະ  $l$  ເຂົ້າດ້ວຍກັນ ແຕ່ລະ  $n, l$  ແພນໜຶ່ງອອບົບຕົລ້າ ດັ່ງແສດງໃນຕາຮາງທີ່ 1.3

ຕາຮາງທີ່ 1.3 ດຳເນີນກະລຸນາຂອງພິງກໍ່ສັນຄົ່ນເຊີງຮັບມື  $R(r)$  ສໍາຫຼັບອະຫວານທີ່ມີອີເລີກຕຽບອານເດືອນເດືອນ

$n$	$l$	$R(r)$
1	0	$2 \left( \frac{Z}{a_0} \right)^{3/2} e^{-Zr/a_0}$

$n$	$l$	$R(r)$
2	0	$(\frac{1}{2\sqrt{2}})(\frac{Z}{a_0})^{3/2}(1 - \frac{Zr}{2a_0})e^{-Zr/2a_0}$
2	1	$(\frac{1}{2\sqrt{6}})(\frac{Z}{a_0})^{3/2}re^{-Zr/2a_0}$
3	0	$(\frac{2}{3\sqrt{3}})(\frac{Z}{a_0})^{3/2}(1 - \frac{2Zr}{3a_0} + \frac{2Z^2r^2}{27a_0^2})e^{-Zr/3a_0}$
3	1	$(\frac{8}{27\sqrt{6}})(\frac{Z}{a_0})^{3/2}(\frac{Zr}{a_0} - \frac{Z^2r^2}{6a_0^2})e^{-Zr/3a_0}$
3	2	$(\frac{4}{81\sqrt{30}})(\frac{Z}{a_0})^{7/2}r^2e^{-Zr/3a_0}$

หมายเหตุ : สำหรับไฮโดรเจนอะตอม,  $a_0 = 52.9$  พิโคเมตร

ค่า  $n$  คือเลขค่าอนตัมหลักที่ได้โดยกล่าวถึงมาแล้วในทฤษฎีของบอร์ (1.4)

ซึ่ง  $n$  เป็นเลขจำนวนเต็มบวก 1, 2, 3... ส่วนค่า  $l$  คือเลขค่าอนตัมโโนเมนตัมเชิงมุมของ ออร์บิตัลซึ่งให้ข้อมูลเกี่ยวกับรูปร่างของออร์บิตัล ค่า  $l$  นี้ขึ้นกับ  $n$  และมีค่าตั้งแต่ 0, 1, ...

(n-1) เราอาจเขียนอักษรแทนค่าได้ดังนี้

$$l = 0 \rightarrow s\text{-ออร์บิตัล}$$

$$l = 1 \rightarrow p\text{-ออร์บิตัล}$$

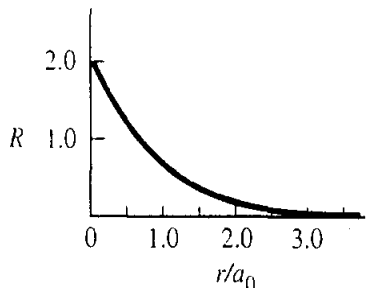
$$l = 2 \rightarrow d\text{-ออร์บิตัล}$$

$$l = 3 \rightarrow f\text{-ออร์บิตัล}$$

$$l = 4 \rightarrow g\text{-ออร์บิตัล}$$

จึงเป็นที่มาของการระบุชื่อ (designation) ออร์บิตัลซึ่งอนุพัทธ์ (derived) มาจาก เลขค่าอนตัม  $n$  และ  $l$  นี้ ตัวอย่างเช่น ออร์บิตัลที่มีค่า  $n = 1$  และ  $l = 0$  จะเป็น 1s-ออร์บิตัล ถ้า  $n = 4$ ,  $l = 3$  จะได้ 4f-ออร์บิตัล เป็นต้น จากตารางที่ 1.3 จะเห็นว่า ถ้า  $n = 1$  จะได้ สมการเชิงรากมี 1 สมการ ถ้า  $n = 2$  และ 3 จะได้ 2 และ 3 สมการตามลำดับ ซึ่งก็คือชั้น ย่อยๆ (subshells) 2s; 2p; 3s; 3p และ 3d เป็นต้น นั่นคือเลขค่าอนตัมหลักมีค่าเท่าใดก็จะมี ชั้นย่อยๆ จำนวนเท่านั้น

เราสามารถ plot (plot) ค่าฟังก์ชันเชิงรัศมี  $R(r)$  เทียบกับระยะทางจากนิวเคลียส ( $r$ ) สำหรับค่า  $n = 1$  ได้ ดังรูปที่ 1.5 จะเห็นว่าค่าฟังก์ชันนี้มีค่าสูงสุด (maximum) ที่นิวเคลียส และลดลงอย่างรวดเร็วเมื่อ  $r$  เพิ่มขึ้น



รูปที่ 1.5 พล็อตของ  $R$  เป็นฟังก์ชัน กับระยะทางจากนิวเคลียส สำหรับ  $1s$ -ออร์บิตัล ;  $a_0 = 52.9$  พิโคเมตร

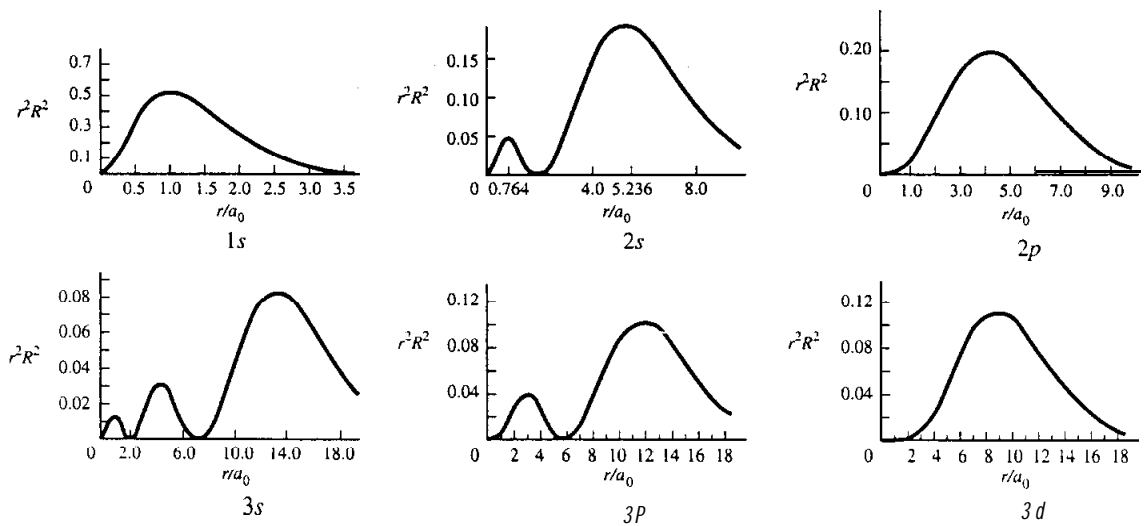
ฟังก์ชัน  $R$  ไม่ให้ความหมายทางกายภาพมากนัก แต่  $R^2$  เกี่ยวข้องโดยตรงกับ ความหนาแน่นของความน่าจะเป็น  $\psi^2$  เนื่องจาก  $R^2$  คือความน่าจะเป็นที่จะหาอิเล็กตรอน ในปริมาตรเล็กๆ ( $dv$ ) สำหรับค่า  $r$  ที่กำหนดให้จำนวนปริมาตรเล็กๆ  $= 4\pi r^2$  ดังนั้นความน่าจะเป็นในการหาอิเล็กตรอนที่ระยะทาง  $r$  จากนิวเคลียส  $= 4\pi r^2 \cdot R^2$

พล็อตค่า  $4\pi r^2 \cdot R^2$  (หรือ  $r^2 R^2$ ) เป็นฟังก์ชันกับระยะทางจากนิวเคลียสสำหรับ  $n = 1, 2, 3$  แสดงในรูปที่ 1.6

สำหรับ  $1s$ -ออร์บิตัล ระยะทางที่มีความหนาแน่นพิ谋มากที่สุดคือ  $a_0$  ซึ่งถือว่าเป็น 'ขนาด' ของไฮโครเจนอะตอม (52.9 พิโคเมตร) สำหรับ  $n=2$  มีร้าฟ 2 ชนิดคือ  $2s$  และ  $2p$  ในกราฟ  $2s$  ค่า  $r^2 R^2$  ลดลงถึงศูนย์ที่ระยะ  $2a_0$  ผิวที่มีความน่าจะเป็นเท่ากับศูนย์นี้คือ โนด(node) ในกรณีนี้โนดจะเป็นผิวทรงกลม(spherical surface) สำหรับ  $2p$ -ออร์บิตัล มีโนดผ่านนิวเคลียสเรียกว่า โนดเชิงระนาบ (planar node) หรือ โนดเชิงมุม (angular node) โดยทั่วไปออร์บิตัลจะมีจำนวนโนดทั้งหมด  $(n-1)$  แบบเชิงมุมมีจำนวนเท่ากับ  $l$  ส่วนที่เหลือคือ  $(n-l-1)$  จะเป็นแบบเชิงรัศมี

สิ่งที่ต่างกันระหว่าง  $s$ -ออร์บิตัลและออร์บิตัลชนิดอื่นๆ ก็คือ  $s$ -ออร์บิตัลจะมีแอนพลิจูดมากที่สุดที่นิวเคลียส ขณะที่ออร์บิตัลชนิดอื่นๆ จะมีโนดเชิงมุมผ่านนิวเคลียสซึ่ง

ต่อไปจะพนวณความสำคัญเกี่ยวกับอิสระภาพ(stability) ของออร์บิทัลและสมบัติที่เกี่ยวกับพันธะ



รูปที่ 1.6 พล็อกของ  $r^2 R^2$  เป็นฟังก์ชันกับระยะทางจากนิวเคลียส สำหรับไฮโดรเจนออร์บิทัล  $n = 1, 2, 3$

### 1.8.2 ฟังก์ชันคลื่นเชิงมุม (Angular Wavefunctions)

ค่าฟังก์ชันคลื่นเชิงมุม  $\Theta$  และ  $\Phi$  ให้ข้อมูลเกี่ยวกับทิศทางและขอบเขตของ ออร์บิทัลชนิดต่างๆ

ฟังก์ชันคลื่นเชิงมุมสำหรับออร์บิทัลที่เหมือนไฮโดรเจน(hydrogen-like) แสดงในตารางที่ 1.4 และ 1.5

ฟังก์ชันคลื่นเชิงมุมนี้เกี่ยวข้องกับเลขคວอนตัม  $l$  และ  $m_l$  ค่า  $m_l$  นี้ ขึ้นกับค่า  $l$  โดยความสัมพันธ์  $|m_l| \leq l$  นั่นคือ  $m_l$  เป็นเลขจำนวนเต็มที่มีค่าสัมบูรณ์น้อยกว่าหรือเท่ากับ  $l$  ถ้า  $l=0$   $m_l$  ย่อมเท่ากับศูนย์ ถ้า  $l=1$ ;  $m_l$  จะจะมีค่าได้ค่าหนึ่งจาก +1, 0 หรือ -1 ซึ่งก็คือ p-ออร์บิทัลทั้ง 3 ถ้า  $l=2$ ;  $m_l$  อาจมีค่า +2, +1, 0, -1 หรือ -2 นั่นคือ d-ออร์บิทัล ทั้งหมดมี 5 ออร์บิทัล ในทำนองเดียวกันนี้ f- และ g-ออร์บิทัล จะมีจำนวนเท่ากับ 7

## และ 9 ตามลำดับ

ตารางที่ 1.4 พิงค์ชันคลื่นเชิงมุม  $\Theta(\theta)$  ในเทอมของ  $\sin\theta$  และ  $\cos\theta$

$l$	$m_l$	$\Theta(\theta)$	$l$	$m_l$	$\Theta(\theta)$
0	0	$\frac{\sqrt{2}}{2}$	2	0	$(\frac{\sqrt{-\infty}}{4})(3\cos^2\theta - 1)$
1	0	$(\frac{\sqrt{6}}{2})(\cos\theta)$	2	$\pm 1$	$(\frac{\sqrt{15}}{2})(\sin\theta \cos\theta)$
1	$\pm 1$	$(\frac{\sqrt{3}}{2})(\sin\theta)$	2	$\pm 2$	$(\frac{\sqrt{15}}{4})(\sin^2\theta)$

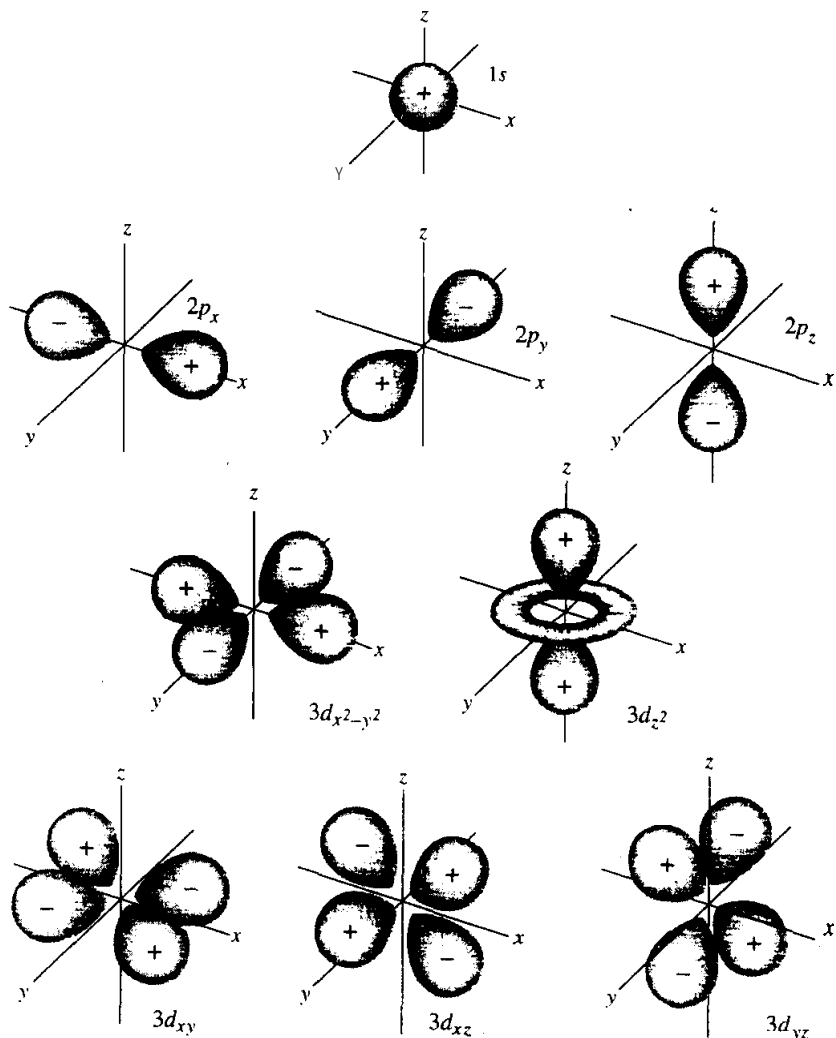
ตารางที่ 1.5 พิงค์ชันคลื่นเชิงมุม  $\Phi(\phi)$  ในเทอมของ  $\sin\phi$  และ  $\cos\phi$

$m_l$	$\Phi(\phi)$	$m_l$	$\Phi(\phi)$
0	$\frac{1}{\sqrt{2\pi}}$	+2	$(\frac{1}{\sqrt{\pi}})(\cos 2\phi)$
+1	$(\frac{1}{\sqrt{\pi}})(\cos\phi)$	-2	$(\frac{1}{\sqrt{\pi}})(\sin 2\phi)$
-1	$(\frac{1}{\sqrt{\pi}})(\sin\phi)$		

จากตารางที่ 1.4 และ 1.5 จะเห็นว่า ผลคูณของพิงค์ชันคลื่น  $\theta$  และ  $\phi$  สำหรับ s-ออร์บิตัล ( $l = 0, m_l = 0$ ) จะไม่มีเทอมเชิงมุม นั่นคือออร์บิตัลชนิดนี้เป็นทรงกลม ไม่มีทิศทางที่แน่นอน ส่วน p-ออร์บิตัล มีรูปร่างคล้ายเลขแปดแต่มี 3 มิติ บริเวณตรงกลางระหว่างพุ(lobes)ทึ้งสองข้างมีโนดเชิงมุม p-ออร์บิตัลทึ้งสามตั้งคลากร่วมกันหันทิศทางไปตามแกน x, y และ z นั่นคือ การที่เราระบุ  $p_x, p_y$  และ  $p_z$  ตามลำดับ

สำหรับ d-ออร์บิตัล ( $l = 2$ ) จะมีโนดเชิงมุมเท่ากับสอง และมีรูปร่างเหมือนในของต้นโคลฟเวอร์ (clover-leaf) มี 4 พูอยู่ตรงกันข้าม ในทางทฤษฎีสามารถสร้างได้ 6 ออร์บิตัล แบบแรกได้แก่  $d_{x^2-y^2}$  มีความหนาแน่นของอิเล็กตรอนในระนาบ xy ตามแกน x

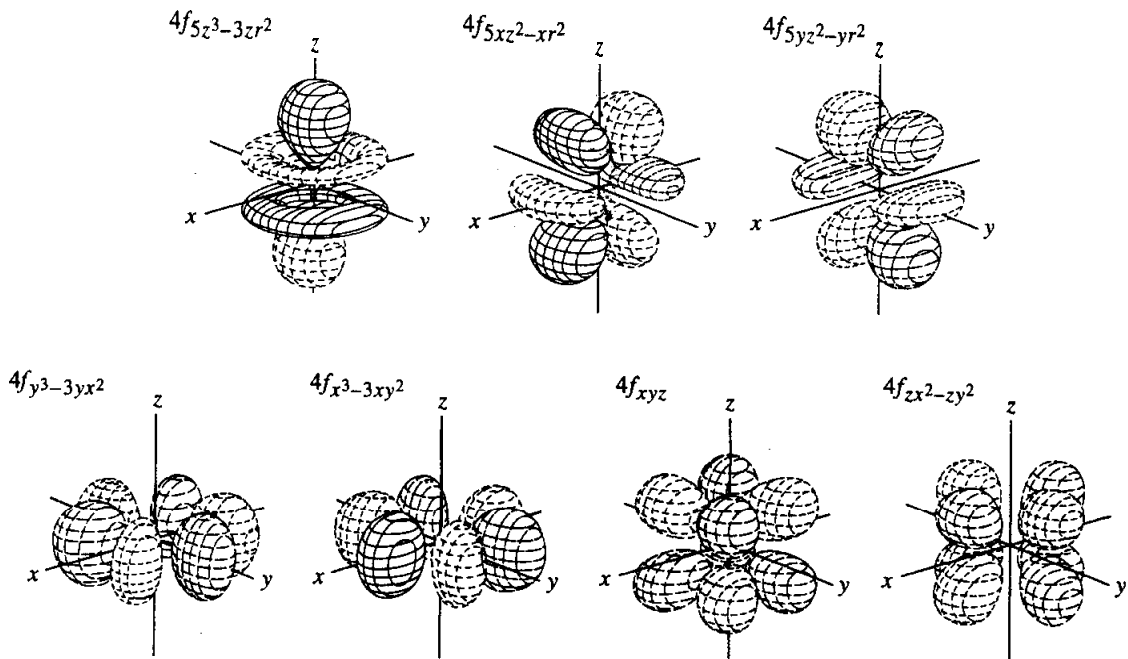
และแกน  $y$  แบบที่สองได้แก่  $d_{xy}$  ซึ่งอนุอยู่ในระนาบเดียวกัน แต่อยู่ระหว่างแกน  $x$  และแกน  $y$  ขีก 4 ออร์บิตัลที่สามารถสร้างได้ในลักษณะเดียวกันแต่อยู่คนละแนวแกน นั่นคือ  $d_{xz}$ ,  $d_{z^2-x^2}$ ,  $d_{yz}$ ,  $d_{z^2-y^2}$  เป็นต้น แต่อย่างไรก็ตาม สมการคลื่นวิбраชันที่ได้เพียง  $5d$ -ออร์บิตัลเท่านั้น ดังนั้นจึงมีการรวมเชิงเส้นของ  $d_{z^2-x^2}$  และ  $d_{z^2-y^2}$  ให้ออร์บิตัลใหม่เป็น  $d_z^2$  และมีรูปร่างต่าง



รูปที่ 1.7 การแสดงรูปร่าง (shapes) ของออร์บิตัลที่เหนือนอนไนโตรเจน ซึ่ง  $n \leq 3$

จากอีก 4 ออร์บิตัล คือมี 2 พู ตามแกน z ทึ้งสองพูมีเครื่องหมายเหมือนกันและมีวงแหวน (torus) ซึ่งมีเครื่องหมายตรงกันข้ามในระนาบ xy รูปที่ 1.7 แสดงออร์บิตัลที่เหนือนไฮโดรเจน ชั้น n ≤ 3

สำหรับ f-ออร์บิตัลทั้ง 7 มีโนดเชิงมุมเท่ากับ 3 และมีรูปร่างแตกต่างกันไป ดังจะเห็นได้จากแผนภาพแสดงเส้นทาง 3 มิติ ในรูปที่ 1.8



รูปที่ 1.8 เส้นทางผิว 3 มิติ สำหรับ 4 f-ออร์บิตัลของไฮโดรเจน

เซต (set) ของเลขค่าอนตัม  $n$ ,  $l$  และ  $m_l$  นี้ 1 เซต เพียงพอที่จะนิยามออร์บิตัล ใดๆ ก็ได้ อย่างไรก็ตามจำเป็นที่จะต้องมีเลขค่าอนตัมแบบที่สี่ เพื่อใช้บ่งถึงอิเล็กตรอนที่อาศัยในออร์บิตัลนั้นว่ามีโมเมนตัมสปิน (spin momentum) อย่างไร นั่นคือเลขค่าอนตัม

สปิน  $m_s$  ซึ่งมีค่า  $\pm \frac{1}{2}$  ดังนั้นอิเล็กตรอน 2 ตัวจึงอยู่ในออร์บิทัลตัวเดียวกันได้ แต่ต้องมีค่า  $m_s$  ต่างกัน นั่นคือ หลักการกันออกไปของพอลลี (Pauli exclusion principle) หรืออาจพูด อีกอย่างได้ว่า จะไม่มีอิเล็กตรอน 2 ตัวในอะตอมหรืออิオンที่มีเลขคุณต้มทั้ง 4 เมื่ออน กันหมวด

### 1.9 พลังงานออร์บิทัลของระบบอิเล็กตรอนเดียว

ในการคำนวณพลังงานออร์บิทัลสำหรับระบบอิเล็กตรอนเดียว สมการคลื่นจะให้ผล เหมือนกับที่ได้จากนอร์ชิง  $E = -\frac{Z^2 e^4 m}{8\epsilon_0 n^2 h^2} = \frac{-kZ^2}{n^2}$  ให้สังเกตว่าพลังงานของออร์บิทัลจะมีเครื่องหมายเป็น – เสนอ ทั้งนี้ เพราะพลังงานของอิเล็กตรอนอิสระ เมื่อไม่เกี่ยว ข้องกับนิวเคลียสจะนิยามว่าเป็นศูนย์ เมื่อมีแรงดึงดูดสู่นิวเคลียสจะทำให้พลังงานลดลงและ เพิ่มเสถียรภาพมากขึ้น

เนื่องจาก  $Z$  มีค่าคงที่สำหรับนิวเคลียสใดๆ พลังงานออร์บิทัลของระบบ อิเล็กตรอนเดียวจะขึ้นกับค่า  $n$  เท่านั้น นั่นคือเสถียรภาพสัมพัทธ์ (relative stabilities) ของ ออร์บิทัลจะเป็นดังนี้

$$1s > 2s = 2p > 3s = 3p = 3d > 4s = 4p = 4d = 4f > \dots$$

### 1.10 ระบบอิเล็กตรอนหล่ายตัว : การผ่านทะลุและการกำบัง (Penetration and Shielding)

ระบบที่มีอิเล็กตรอน  $\geq 2$  สมการโดยเดิมที่ต้องดัดแปลง(modified)เพื่อให้ครอบ คลุมถึงแรงผลักระหว่างอิเล็กตรอนคู่ย (electron-electron repulsion) และแม้ว่าสามารถ เกี่ยนสมการคลื่นได้ แต่การแก้สมการโดยให้ถูกต้องตามหลักคณิตศาสตร์นั้น ไม่สามารถทำ ได้ มีข้อจำกัดมาก แต่อย่างไรก็ตามวิธีการหล่ายวิธีได้บ่งว่าออร์บิทัลในระบบอิเล็กตรอน หล่ายตัวและอิเล็กตรอนเดียวไม่แตกต่างกันมากนัก ด้วยเหตุนี้ สมการคลื่นอันแรกจึงสามารถประยุกต์ใช้ได้กับอะตอมและอิออนทั่วไปได้

อย่างไรก็ตี เมื่อมีอิเล็กตรอน  $\geq 2$  ตัว จะมีความแตกต่างที่สำคัญเกิดขึ้น นั่นคือ ออร์บิทัล s, p, d และ f ของชั้นเดียวกันจะมีพลังงานแตกต่างกัน ทั้งนี้เนื่องมาจากการ สามารถในการผ่านทะลุ (penetrating ability) ของอิเล็กตรอนในแต่ละอร์บิทัลเข้าไปใน กลุ่มอิเล็กตรอนของอร์บิทัลอื่นๆ เพื่อที่จะมีอันตรกิริยา (interaction) กับนิวเคลียสนั้น ไม่ เท่ากัน

เพื่อที่จะให้เข้าใจแนวคิด(concept)ของการผ่านทะลุ เราจำเป็นต้องมองภาพ ออร์บิทัลของอะตอม ว่ามีศูนย์กลางทางเรขาคณิตอันเดียวกันคือนิวเคลียส นั่นคือออร์บิทัล ทั้งหลายนั้นจะต้องมีการซ้อน(overlap)บ้าง ดังนั้นอิเล็กตรอนในออร์บิทัลหนึ่งจะกัน (shield หรือ screen) อิเล็กตรอนอื่นจากนิวเคลียส ทำให้เกิดประจุนิวเคลียสที่บังผล(effective nuclear charge) มีสัญลักษณ์  $Z^*$  ซึ่งจะมีค่า่น้อยกว่าประจุจริงๆ คือ  $Z$  (จำนวน proton ใน นิวเคลียส)

สำหรับอิเล็กตรอนใดๆ ค่าประจุนิวเคลียสที่บังผล

$$Z^* = Z - \Sigma S \quad (1.8)$$

เมื่อ  $\Sigma S$  คือผลรวมของผลการกันจากอิเล็กตรอนอื่นๆ ที่มีต่ออิเล็กตรอนนั้น

ตัวอย่างของการกันที่มีผลต่อเสถียรภาพ ได้แก่ 1s, 2s และ 2p-ออร์บิทัล จาก การคำนวณพบว่า 2s-ออร์บิทัลจะซ้อนทับกัน 1s มากกว่า 2p-ออร์บิทัล นั่นคือ 2s-ออร์บิทัล จะผ่านทะลุ 1s-ออร์บิทัล ได้มากกว่า 2p-ออร์บิทัล (พุดอีกประการหนึ่งก็คือ 1s-ออร์บิทัล จะกัน 2p-ออร์บิทัล ได้มากกว่ากัน 2s-ออร์บิทัล) นั่นคือในระบบหลายอิเล็กตรอน 2s-ออร์บิทัล จะเสถียรกว่า 2p-ออร์บิทัล ในทำนองเดียวกัน p-ออร์บิทัล จะผ่านทะลุได้มากกว่า d-ออร์บิทัล ซึ่งก็ย่อมจะมากกว่า f-ออร์บิทัล ดังนั้นลำดับของเสถียรภาพภายใต้ชั้นควบคุม หนึ่งๆ คือ  $s > p > d > f$  และลำดับทั่วไปของเสถียรภาพของออร์บิทัลสำหรับระบบหลาย อิเล็กตรอนจะเป็นดังนี้  $1s > 2s > 2p > 3s > 3p > 4s \approx 3d > 4p > 5s \approx 4d > 5p \dots$

## 1.11 โครงแบบอิเล็กตรอน (Electron Configuration)

จากหลักการสร้าง (the aufbau principle) ได้เสนอว่า สำหรับอะตอมหลายอิเล็กตรอน การจัดเรียงอิเล็กตรอนในอะตอมตัวจะเป็นไปตามลำดับในหัวข้อ 1.10 ซึ่งเป็นการง่ายที่จะหาโครงแบบของอิเล็กตรอนที่เสถียรที่สุด นั่นคือสถานะพื้น (ground state) การจัดเรียงสถานะพื้นที่ได้จากการทดลองทางสเปกโตรสโคปสำหรับธาตุ 103 ธาตุ แสดงในตารางที่ 1.6

กฎ( $n + 1$ ) มีข้อยกเว้นหลายแห่งในตารางที่ 1.6 นี้ เช่น ในอนุกรมทรานซิชันแกรนต์ อะตอมที่เป็นกลวงเกือบทั้งหมดอิเล็กตรอนจะเข้าบรรจุใน  $4s$ - ออร์บิทัลก่อน  $3d$  ทั้งที่  $d$ -ออร์บิทัลมีเลขค่าอนตัมน้อยกว่า ยกเว้นในกรณีของ Cr และ Cu(ในตาราง) กรณี  $5s$  และ  $4d$  ได้แก่ Nb Mo Ru Rh Pd และ Ag รวมทั้ง  $6s$   $5d$  และ  $4f$  ได้แก่ La Ce Gd Tb และ Au

เมื่ออิเล็กตรอนถูกดึงออกจากอะตอม แคตอิออนที่ได้จะมีการเปลี่ยนแปลง 2 ประการ คือ เมื่อจำนวนอิเล็กตรอนลดลง ค่าการผ่านทะลุหรือการกันลดลง ขณะที่ขนาดของแคตอิออนก็เล็กลงกว่าอะตอมเดิม การเปลี่ยนแปลงทั้งสองนี้ทำให้แคตอิออนคล้ายกับไฮโดรเจนอะตอมมากขึ้น ทำให้เลขค่าอนตัมหลักเป็นปัจจัยเด่นขึ้นมาในการบอกเสถียรภาพของออร์บิทัล นั่นคือแคตอิออนส่วนใหญ่อิเล็กตรอนชอบที่จะอยู่ใน  $3d > 4s$  หรือ  $4d > 5s$  และ  $4f > 5d > 6s$  ตามลำดับ ซึ่งบ่งถึงสถานะพื้นของอิออนนั้นๆ ตัวอย่างเช่น โครงแบบที่มีพังงานต่ำสุดของ  $Mn^0$   $Mn^+$  และ  $Mn^{2+}$  คือ



โดยทั่วไปการเขียนโครงแบบของสถานะพื้นที่ถูกต้องสำหรับแคตอิออนโลหะทรานซิชัน ทำได้โดยเขียนโครงแบบอิเล็กตรอนของอะตอมเดิมก่อน จากนั้นจึงดึงจำนวนอิเล็กตรอนออกจาก  $s$ -ออร์บิทัล ซึ่งมีเลขค่าอนตัม  $n$  สูงกว่า

ตารางที่ 1.6 โครงแบบอิเล็กตรอนในวัตถุภาคกําชของธาตุ 103 ธาตุ

เลขอะตอม	ธาตุ	โครงแบบ	เลขอะตอม	ธาตุ	โครงแบบ
1	H	$1s^1$	42	Mn	$[Kr]4d^55s^1$
2	He	$1s^2$	43	Tc	$[Kr]4d^55s^2$
3	Li	$[He]2s^1$	44	Ru	$[Kr]4d^75s^1$
4	Be	$[He]2s^2$	45	Rh	$[Kr]4d^85s^1$
5	B	$[He]2s^22p^1$	46	Pd	$[Kr]4d^{10}$
6	C	$[He]2s^22p^2$	47	Ag	$[Kr]4d^{10}5s^1$
7	N	$[He]2s^22p^3$	48	Cd	$[Kr]4d^{10}5s^2$
8	O	$[He]2s^22p^4$	49	In	$[Kr]4d^{10}5s^25p^1$
9	F	$[He]2s^22p^5$	50	Sn	$[Kr]4d^{10}5s^25p^2$
10	Ne	$[He]2s^22p^6$	51	Sb	$[Kr]4d^{10}5s^25p^3$
11	Na	$[Ne]3s^1$	52	Te	$[Kr]4d^{10}5s^25p^4$
12	Mg	$[Ne]3s^2$	53	I	$[Kr]4d^{10}5s^25p^5$
13	Al	$[Ne]3s^23p^1$	54	Xe	$[Kr]4d^{10}5s^25p^6$
14	Si	$[Ne]3s^23p^2$	55	CS	$[Xe]6s^1$
15	P	$[Ne]3s^23p^3$	56	Ba	$[Xe]6s^2$
16	S	$[Ne]3s^23p^4$	57	La	$[Xe]5d^16s^2$
17	Cl	$[Ne]3s^23p^5$	58	Ce	$[Xe]4f^15d^16s^2$
18	Ar	$[Ne]3s^23p^6$	59	Pr	$[Xe]4f^36s^2$
19	K	$[Ar]4s^1$	60	Nd	$[Xe]4f^46s^2$
20	Ca	$[Ar]4s^2$	61	Pm	$[Xe]4f^56s^2$
21	Sc	$[Ar]3d^14s^2$	62	Sm	$[Xe]4f^66s^2$
22	Ti	$[Ar]3d^24s^2$	63	Eu	$[Xe]4f^76s^2$
23	V	$[Ar]3d^34s^2$	64	Gd	$[Xe]4f^75d^16s^2$
24	Cr	$[Ar]3d^54s^1$	65	Tb	$[Xe]4f^96s^2$
25	Mn	$[Ar]3d^54s^2$	66	Dy	$[Xe]4f^{10}6s^2$
26	Fe	$[Ar]3d^64s^2$	67	Ho	$[Xe]4f^{11}6s^2$
27	Co	$[Ar]3d^74s^2$	68	Er	$[Xe]4f^{12}6s^2$
28	Ni	$[Ar]3d^84s^2$	69	Tm	$[Xe]4f^{13}6s^2$
29	Cu	$[Ar]3d^{10}4s^1$	70	Yb	$[Xe]4f^{14}6s^2$
30	Zn	$[Ar]3d^{10}4s^2$	71	Lu	$[Xe]4f^{14}5d^16s^2$
31	Ga	$[Ar]3d^{10}4s^24p^1$	72	Hf	$[Xe]4f^{14}5d^26s^2$
32	Ge	$[Ar]3d^{10}4s^24p^2$	73	Ta	$[Xe]4f^{14}5d^36s^2$
33	As	$[Ar]3d^{10}4s^24p^3$	74	W	$[Xe]4f^{14}5d^46s^2$
34	Se	$[Ar]3d^{10}4s^24p^4$	75	Re	$[Xe]4f^{14}5d^56s^2$
35	Br	$[Ar]3d^{10}4s^24p^5$	76	Os	$[Xe]4f^{14}5d^66s^2$
36	Kr	$[Ar]3d^{10}4s^24p^6$	77	Ir	$[Xe]4f^{14}5d^76s^2$
37	Rb	$[Kr]5s^1$	78	Pt	$[Xe]4f^{14}5d^96s^1$
38	Sr	$[Kr]5s^2$	79	Au	$[Xe]4f^{14}5d^{10}6s^1$
39	Y	$[Kr]4d^15s^2$	80	Hg	$[Xe]4f^{14}5d^{10}6s^2$
40	Zr	$[Kr]4d^25s^2$	81	Tl	$[Xe]4f^{14}5d^{10}6s^26p^1$
41	Nb	$[Kr]4d^45s^1$	82	Pb	$[Xe]4f^{14}5d^{10}6s^26p^2$

### ตารางที่ 1.6 (ต่อ)

เลขอะตอม	ชื่อธาตุ	โครงแบบ	เลขอะตอม	ชื่อธาตุ	โครงแบบ
83	Bi	[Xe]4f <sup>14</sup> 5d <sup>10</sup> 6s <sup>2</sup> 6p <sup>3</sup>	94	P U	[Rn]5f <sup>6</sup> 7s <sup>2</sup>
84	Po	[Xe]4f <sup>14</sup> 5d <sup>10</sup> 6s <sup>2</sup> 6p <sup>4</sup>	95	Am	[Rn]5f <sup>7</sup> 7s <sup>2</sup>
85	At	[Xe]4f <sup>14</sup> 5d <sup>10</sup> 6s <sup>2</sup> 6p <sup>5</sup>	96	Cm	[Rn]5f <sup>7</sup> 6d <sup>1</sup> 7s <sup>2</sup>
86	Rn	[Xe]4f <sup>14</sup> 5d <sup>10</sup> 6s <sup>2</sup> 6p <sup>6</sup>	97	Bk	[Rn]5f <sup>9</sup> 7s <sup>2</sup>
87	Fr	[Rn]7s <sup>1</sup>	98	Cf	[Rn]5f <sup>10</sup> 7s <sup>2</sup>
88	Ra	[Rn]7s <sup>2</sup>	99	Es	[Rn]5f <sup>11</sup> 7s <sup>2</sup>
89	Ac	[Rn]6d <sup>1</sup> 7s <sup>2</sup>	100	Fm	[Rn]5f <sup>12</sup> 7s <sup>2</sup>
90	Th	[Rn]6d <sup>2</sup> 7s <sup>2</sup>	101	Md	[Rn]5f <sup>13</sup> 7s <sup>2</sup>
91	Pa	[Rn]5f <sup>2</sup> 6d <sup>1</sup> 7s <sup>2</sup>	102	No	[Rn]5f <sup>14</sup> 7s <sup>2</sup>
92	U	[Rn]5f <sup>3</sup> 6d <sup>1</sup> 7s <sup>2</sup>	103	Lr	[Rn]5f <sup>14</sup> 6d <sup>1</sup> 7s <sup>2</sup>
93	Np	[Rn]5f <sup>4</sup> 6d <sup>1</sup> 7s <sup>2</sup>			

### 1.12 กฎของสูนด์ (Hund's Rules)

ในกรณีที่ออร์บิทัลมีพลังงานเท่ากัน  $\geq 2$  เรียกว่า ดีเจนเนอเรตอร์บิทัล (degenerate orbitals) และถ้ามีอิเล็กตรอนบรรจุอยู่ไม่เต็ม จะให้สถานะ(states) หรือ โครงแบบย่อย (subconfigurations) ที่ต่างกัน ดังเช่น 2p-ออร์บิทัลของการบอนอะตอม ซึ่งโครงแบบ อิเล็กตรอนเป็น  $1s^2 \ 2s^2 \ 2p^2$  สถานะที่เสถียรที่สุดคือสถานะที่มีอิเล็กตรอนเดียวมากที่สุด และถ้ามีจำนวนอิเล็กตรอนเดียวเท่ากัน สถานะที่มีมัลติพลิชิตี้ (multiplicity) หรือสpinsรวม (total spin) มากกว่าจะเสถียรมากที่สุด ดังนั้นพลังงานสัมพัทธ์ (relative energies) สำหรับ 2p-ออร์บิทัล ของ C จะเป็นดังนี้

$\uparrow\downarrow$	—	—	สภาวะเร้า	E
$\uparrow$	$\downarrow$	—	สภาวะเร้า	↑
$\uparrow$	$\uparrow$	—	สภาวะพื้น	พลังงาน

ช่องว่างระหว่างพลังงานของสถานะพื้นและสถานะเร้าอันแรกเรียกว่า พลังงานแลกเปลี่ยน (exchange energy) คือพลังงานที่ต้องการที่จะให้อิเล็กตรอนเปลี่ยนสปินจาก “ขึ้น” เป็น “ลง” ส่วนความแตกต่างระหว่างสถานะเร้าทั้งสอง เรียกว่า พลังงานสหสัมพันธ์ (correlation energy) ซึ่งมาจากการที่อิเล็กตรอนที่อยู่ในออร์บิทัลเดียวกันจะผลักกันมากกว่าเมื่อยื่นละออร์บิทัล

กฎนี้มีประโยชน์ในการทำนายสมบัติทางแม่เหล็ก(magnetic properties) ด้วย เช่น เราทราบว่าอะตอมของเหล็กในสถานะพื้นเป็น พารานแมกนติก (paramagnetic) นั่นคือต้องมีอิเล็กตรอนเดียว  $\geq 1$  โครงแบบอิเล็กตรอนของเหล็ก =  $[Ar]4s^2 3d^6 \uparrow\downarrow \uparrow\uparrow \uparrow\uparrow$  มีอิเล็กตรอนเดียวกัน 4 ตัว ซึ่งสอดคล้องกับที่ได้จากการศึกษาทางแม่เหล็ก

### 1.13 สถานะของอะตอมและเทอมสัญลักษณ์ (Atomic States and Term Symbols)

โครงแบบอิเล็กตรอนของอะตอมแบบเดียวกันมีสถานะพลังงาน(energy states) ได้หลายสถานะ ดังตัวอย่างโครงแบบอิเล็กตรอนของ  $C = 1s^2 2s^2 2p^2$  ที่ได้ก่อตัวไว้แล้วในหัวข้อที่ผ่านมา ซึ่งการจัดเรียงแต่ละแบบมีพลังงานต่างๆกัน การหาสถานะพลังงานพร้อมทั้งสัญลักษณ์ของเทอมสามารถทำได้โดยการนิยามเทอมต่างๆดังต่อไปนี้คือ:

ค่าโน้ม-men ตามเชิงมุมของออร์บิทัลรวม(Total orbital angular momentum)  $\Rightarrow L$

ค่าโน้ม-men ตามเชิงมุมของสปินรวม(Total spin angular momentum)  $\Rightarrow S$

ค่าโน้ม-men ตามเชิงมุมรวม(Total angular momentum)  $\Rightarrow J$

เทอมสัญลักษณ์ (Term symbol) คือ  $^{2s+1}L_J$  สถานะ S, P, D, F, G... ใช้แทนค่า  $L = 0, 1, 2, 3, 4...$  เช่นเดียวกับ s, p, d, f ... ใช้แทน  $J = 0, 1, 2, 3 ...$  ส่วนค่าที่เป็นไปได้ของ  $J = L + S, L + S - 1, \dots |L - S|$

### 1.13.1 สถานะพลังงานของอะตอมหรืออิオนที่มีอิเล็กตรอนเดียว

ค่า L เป็นของออร์บิทัลที่มีอิเล็กตรอนนั้นอยู่ ดังนั้นเทอม S, P, D, F,... จึงสอดคล้องกับออร์บิทัล s, p, d, f,... และเนื่องจากมีอิเล็กตรอนตัวเดียว  $m_s = +\frac{1}{2}$  หรือ  $-\frac{1}{2}$  ดังนั้น  $s = \frac{1}{2} \Rightarrow S = \frac{1}{2}$  ด้วยเหตุนี้  $2S+1 = 2$  เสมอ ค่า  $2S+1$  นี้เรียกว่า สปินดีเจนเนอเรซซ์ (spin degeneracy) หรือ มัลติพลิชิตี้ (multiplicity) ของอะตอม

ตัวอย่าง : เทอมสัญลักษณ์ของสถานะพื้นของไฮเจนอะตอม  $1s^1 \Rightarrow {}^2S_{1/2}$  เนื่องจาก  $S = \frac{1}{2}$ ,  $L = 0$ ,  $J = \frac{1}{2}$  ในกรณีของไฮโคลรเจนอะตอมสถานะเร้าแบบแรก คือ  $2s^1$  เทอมสัญลักษณ์  $\Rightarrow {}^2S_{1/2}$  เมื่ອันกับสถานะพื้นแต่เพลิงงานต่างกัน เพื่อไม่ให้สับสนเราราจเขียนแยกได้เป็น  $1s \ {}^2S_{1/2}$  และ  $2s \ {}^2S_{1/2}$

ถ้าไฮโคลรเจนอะตอมอยู่ในสถานะเร้าแบบที่สองคือ  $2p^1$  เทอมสัญลักษณ์จะเป็น  $\Rightarrow {}^2P_{3/2}, {}^2P_{1/2}$  นั่นคือเกิด 2 สถานะพลังงานจาก 1 โครงแบบอิเล็กตรอน ความแตกต่างของพลังงาน ( $\Delta E$ ) ระหว่าง 2 สถานะนี้มาจากการคู่ควบสปิน-ออร์บิท (spin-orbit coupling) ซึ่งจะได้ก้าวถึงต่อไป นั่นคือค่า L และ S จะรวมได้ 2 แบบที่แตกต่างกัน  $L \pm S \Rightarrow 3/2$  และ  $1/2$

$$2p \ {}^2P_{3/2} \underline{\text{82259.212}}$$

$$2s \ {}^2S_{1/2} \underline{\text{82258.942}}$$

$$2p \ {}^2P_{1/2} \underline{\text{82258.907}}$$

พลังงาน ( $\text{cm}^{-1}$ )

$$1s \quad {}^2S_{1/2} \underline{( \equiv 0 )}$$

$$1s \quad {}^2S_{1/2} \underline{( \equiv 0 )}$$

รูปที่ 1.9 แสดงสถานะพลังงานสัมพห์ที่เกิดจาก  $1s^1$   $2s^1$  และ  $2p^1$  ของไฮโคลรเจนอะตอม

จะเห็นว่า  $^2P_{3/2}$  และ  $^2P_{1/2}$  ต่างกันเด็กน้อย แสดงว่าการคุ่ความสปิน-ออร์บิท น้อยใน H อะตอม

### 1.13.2 สถานะพลังงานในอะตอมหลายอิเล็กตรอน

มี 2 กรณีคือ กรณีแรกสำหรับอะตอมที่มีอิเล็กตรอนแต่ละอิเล็กตรอนอยู่ใน เลขค่อนตั้ม  $n$  และ  $l$  ต่างกัน เรียกว่า อิเล็กตรอนไม่สมมูลกัน (nonequivalent electrons) กรณีนี้ค่าโน้ม-men ตัมเชิงมุนของสปินรวม

$$S = s_1 + s_2 + s_3 + \dots s_n ; s_1 + s_2 + \dots s_n - 1 ; s_1 + s_2 + \dots s_n - 2$$

ดังนั้น  $S$  จะมีค่า  $= \frac{n}{2}, \frac{n}{2} - 1, \frac{n}{2} - 2 \dots 0$  (เมื่อ  $n$  เป็นเลขคู่)

และ  $= \frac{n}{2}, \frac{n}{2} - 1, \frac{n}{2} - 2 \dots \dots$  (เมื่อ  $n$  เป็นเลขคี่)

และค่าโน้ม-men ตัมเชิงมุนของออร์บิตัลรวม  $L$  จะ  $= l_1 + l_2 + \dots l_n ; l_1 + l_2 + \dots l_n - 1; l_1 + l_2 + \dots l_n - 2$

ถ้าค่า  $l$  เท่ากันทั้งหมด ค่าต่ำสุดจะเท่ากับศูนย์ แต่ถ้ามีค่า  $l$  ค่าใดค่าหนึ่งมากกว่า ค่าต่ำสุดจะเท่ากับผลต่างของค่า  $l$  ของอิเล็กตรอนตัวที่ต่างไปกับค่า  $l$  รวมของอิเล็กตรอนที่ เท่ากัน

ตัวอย่าง : ค่า  $L$  และ  $S$  ที่เป็นไปได้ของโครงแบบอิเล็กตรอน  $2p^1 3p^1$  ( $l_1=1, l_2=1$ )

$$\therefore L = 2, 1, 0 ; S = 1, 0$$

แต่ถ้าโครงแบบอิเล็กตรอนเป็น  $2p^1 3p^1 4f^1$  จะได้ว่า

$$L = 5, 4, 3, 2, 1 ; S = \frac{3}{2}, \frac{1}{2}$$

ถ้าทราบ  $L, S$  ก็หาค่า  $J$  ได้ เช่น  $L=2, S=1 \Rightarrow J=3, 2, 1$  และเนื่องจาก อิเล็กตรอนไม่ได้อยู่ในออร์บิตัลเดียวกัน จึงเป็นไปตามหลักการกันออกไปของพอลลี ค่า  $L$  และ  $S$  จึงเป็นไปได้ทั้งหมด ตารางที่ 1.7 เป็นเพ้อมที่เกิดจากโครงแบบ  $2p^1 3p^1$

ตารางที่ 1.7 เทอนที่เกิดจากโครงแบบอิเล็กตรอนที่ไม่สมมูลกัน  $2p^1 3p^1$

L	S	
	0	1
2	$^1D_2$	$^3D_{3,2,1}$
1	$^1P_1$	$^3P_{2,1,0}$
0	$^1S_0$	$^3S_1$

อีกรูปหนึ่งคือ อิเล็กตรอนอยู่ในเลขค่าอนตั้ม  $n$  และ  $l$  เดียวกัน เช่น C ซึ่ง อิเล็กตรอนหั้ง 2 ตัวสุดท้ายอยู่ในชั้น  $2p [1s^2 2s^2 2p^2]$  ถือว่า อิเล็กตรอนสมมูลกัน (equivalent electrons) ถึงแม้ว่า p-ออร์บิตัลจะมีพลังงานเท่ากันก็ตาม แต่อิเล็กตรอนที่บรรจุอยู่จะมี อันตรกิริยา กัน ทำให้เกิดสถานะพื้นและสถานะเร้ามากกว่า 1 สถานะ นอกเหนือจากแรง พลักทางไฟฟ้าสถิตย์ (electrostatic repulsion) แล้ว อิเล็กตรอนยังมีอิทธิพลซึ่งกันและกัน โดยเกิดอันตรกิริยาหรือการคู่ควน (coupling) ของสนามแม่เหล็กที่เกิดขึ้นจาก การสpin และ การคู่ควนของสนามที่เกิดจากการเคลื่อนที่ของอิเล็กตรอนในออร์บิตัล เมื่ออิเล็กตรอนเพิ่ม ขึ้นหลายตัว สถานะพลังงานที่ได้ก็จะขึ้นกับค่า โนเมนตัมเชิงมุมของออร์บิตัลรวมของ อิเล็กตรอนหั้งหมด นั่นคือ

$$M_L = \sum m_l = m_{l_1} + m_{l_2} + m_{l_3} + \dots m_{l_n}$$

เมื่อ  $M_L$  มีค่าจาก  $L, L-1, \dots, 0, \dots, -L$  ทั้งหมดมี  $(2L+1)$  ค่า

ในขณะเดียวกันสถานะพลังงานก็ขึ้นกับค่า โนเมนตัมเชิงมุมของสpinรวมด้วย นั่นคือ

$$M_S = \sum m_s = m_{s_1} + m_{s_2} + m_{s_3} + \dots m_{s_n}$$

เมื่อ  $M_S$  มีค่าจาก  $S, S-1, \dots, -S$  ทั้งหมดมี  $(2S+1)$  ค่า

ในอะตอม ผลทางแม่เหล็กของ  $L$  และ  $S$  นี้จะมีอันตรกิริยาหรือคู่ควนกันอีกด้วย เป็นเลขค่าอนตัมใหม่ คือค่า  $J$  ซึ่งเป็นเลขค่าอนตัมของ โนเมนตัมเชิงมุมรวมที่ได้จากการ

รวมทางเวกเตอร์ของ L และ S นั่นเอง การคุณวุฒิที่ได้จากการผลของสปินและออร์บิทัลรวมดังกล่าวเรียกว่า การคุณวุฒิรัสเซลล์-ชอนเดอร์ (Russell - Saunder หรือ LS coupling)

ตัวอย่าง : การหาเทอมสัญลักษณ์ของ Li อะตอมในสถานะพื้น  $1s^2 2s^1$

1) หากค่าที่เป็นไปได้ของ  $M_L$

$$M_L = m_{l_1} + m_{l_2} + m_{l_3} = O+O+O = 0$$

2) หากค่าที่เป็นไปได้ของ L

$$M_L = 0 ; L = 0$$

3) หากค่าที่เป็นไปได้ของ  $M_S$

$$M_S = m_{s_1} + m_{s_2} + m_{s_3}$$

$$\text{เนื่องจาก } m_{s_1} = +\frac{1}{2} ; m_{s_2} = -\frac{1}{2} \text{ และ } m_{s_3} = \pm \frac{1}{2}$$

$$\therefore M_S = +\frac{1}{2} \text{ หรือ } -\frac{1}{2}$$

4) หากค่าที่เป็นไปได้ของ S

$$M_S = +\frac{1}{2}, -\frac{1}{2} ; S = \frac{1}{2}$$

นั่นคือ เทอมของสถานะพื้นของ Li อะตอม  $I = 0 ; S = \frac{1}{2} ; J = \frac{1}{2} \Rightarrow {}^2S_{1/2}$

ในการณ์ที่เป็นสถานะร้าของ Li อะตอม  $1s^2 2p^1$  เราจะได้

$$M_L = 1, 0, -1 ; L = 1$$

$$M_S = +\frac{1}{2} ; S = \frac{1}{2}$$

ซึ่ง  $\Rightarrow {}^2P_{3/2} {}^2P_{1/2}$  นั่นคือสถานะร้าของ Li อะตอมมี 2 เทอม

จากตัวอย่างของ Li อะตอมนี้ จะเห็นว่าการหาจำนวนสถานะพลังงานที่เกิดจากโครงแบบอิเล็กตรอนแบบใดแบบหนึ่ง ไม่จำเป็นต้องคิดถึงชั้นที่มีอิเล็กตรอนบรรจุอยู่เต็ม (filled-subshell) ก็ได้ เนื่องจากว่าเราจะได้  $M_L = 0 (L=0)$  และ  $M_S = 0 (S=0)$  เสมอ

กรณีของ Li ง่าย แต่การหาสถานะพลังงานของโครงแบบอิเล็กตรอนที่ชั้นช่องขึ้นต้องสร้างแผนภูมิของ  $M_L$  และ  $M_S$  ที่เป็นไปได้ ด้วยย่างเช่น C อะตอมสถานะพื้น  $1s^2$   $2s^2 2p^2$  พิจารณาเฉพาะเล็กตรอนในชั้นที่ไม่เต็ม คือ  $2p^2$

อิเล็กตรอนที่สองมีค่า  $L = 1 \therefore m_L = +1, 0$  และ  $-1$  และอิเล็กตรอนแต่ละตัวมีค่า  $m_s = +\frac{1}{2}$  หรือ  $-\frac{1}{2}$  เบียนค่าที่เป็นไปได้ทั้งหมดดังในตารางที่ 1.8

ทั้งหมดจะมี 15 ค่าที่เป็นไปได้ตามหลักการผลลัพธ์ ค่า  $M_S = \sum m_s$ ;  $M_L = \sum m_L$  จากตารางที่ 1.8 หากค่า L และ S ได้ โดยครั้งแรกเลือกค่า  $M_S$  ที่มากที่สุด (maximum  $M_S$ ) ก่อน และเลือกค่า  $M_L$  ที่มากที่สุด (maximum  $M_L$ ) ที่เกี่ยวข้องด้วย จะได้  $M_S = 1$  และ  $M_L = 1$  (หมายเลข 10 ในตาราง) และสอดคล้องกับกลุ่มของเทอมซึ่ง  $L = 1$ ;  $S = 1$  ทั้งหมด เนื่องจาก  $L = 1$  เท่ากับสถานะ P และ  $S = 1$  มีมัลติพลิกิตี้  $(2S + 1) = 3$  จึงมีสถานะเป็น  ${}^3P$  (triplet P state)

ถ้า  $L = 1$ ;  $M_L$  มีค่า  $+1, 0$  และ  $-1$

ถ้า  $S = 1$ ;  $M_S$  มีค่า  $+1, 0$  และ  $-1$

จึงมีทั้งหมด 9 การรวมเข้า (combinations) ที่ให้  ${}^3P$

$$M_L = +1 \quad ; \quad M_S = +1, 0, -1$$

$$M_L = 0 \quad ; \quad M_S = +1, 0, -1$$

$$M_L = -1 \quad ; \quad M_S = +1, 0, -1$$

ส่วนที่เหลืออีก 6 ค่า เราเลือกค่า  $M_S$  และ  $M_L$  ที่มากที่สุดออกมาอีก ซึ่งจะได้  $M_S = 0$  และ  $M_L = 2$  ซึ่งจากนี้เราได้  $L = 2$  และ  $S = 0$  นั่นคือ  $L = 2$  เป็นสถานะ D ส่วน  $S = 0$  มีมัลติพลิกิตี้  $(2S + 1) = 1$  ได้สถานะเป็น  ${}^1D$  (singlet D state)

ถ้า  $L = 2$ ;  $M_L$  มีค่า  $+2, +1, 0, -1, -2$

$$S = 0 \quad ; \quad M_S = 0$$

ตารางที่ 1.8 ค่าที่เป็นไปได้ (allowed values) ของ  $m_l$  และ  $m_s$  สำหรับโครงแบบ  $p^2$

$m_l =$	+1	0	-1	MS	$M_L$	Term symbols
1	$\uparrow\downarrow$			0	2	${}^1D$
2		$\uparrow\downarrow$		0	-2	${}^1D$
3		$\uparrow\downarrow$		0	0	
4	$\uparrow$	$\downarrow$		0	0	${}^3P, {}^1D, {}^1S$
5	$\downarrow$	$\uparrow$		0	0	
6	$\uparrow$	$\downarrow$		0	1	${}^3P, {}^3D$
7	$\downarrow$	$\uparrow$		0	1	
8		$\uparrow\downarrow$		0	-1	${}^3P, {}^1D$
9		$\downarrow\uparrow$		0	-1	
10	$\uparrow$	$\uparrow$		1	1	${}^3P$
11	$\uparrow$		$\uparrow$	1	0	${}^3P$
12		$\uparrow$	$\uparrow$	1	-1	${}^3P$
13	$\downarrow$	$\downarrow$		-1	1	${}^1P$
14	$\downarrow$		$\downarrow$	-1	0	${}^3P$
15		$\downarrow\downarrow$		-1	-1	${}^3P$

ดังนั้นมีการรวมเข้าห้องหมุด 5 แบบที่ให้  ${}^1D$  ส่วนที่เหลืออีก 1 ชุด คือ  $M_L = 0$  ;  $MS = 0$  ซึ่งสอดคล้องกับ  $L = 0, S = 0$  จะให้  ${}^1S$  (singlet S state)

จะเห็นว่าการจัดเรียงอิเล็กตรอนทั้ง 15 แบบที่เป็นไปได้ จะให้เทอมสถานะ  ${}^3P, {}^1D, {}^1S$  และค่า  $M_L$  และ  $MS$  ที่เหมือนกัน แต่โครงแบบอิเล็กตรอนต่างกันก็จะให้เทอมที่ต่างกัน (ดังกรณีหมายเลข 3,4,5)

สำหรับ  ${}^3P$  มีค่า  $J = 2, 1, 0$  ตามลำดับ  $\Rightarrow {}^3P_2, {}^3P_1$  และ  ${}^3P_0$

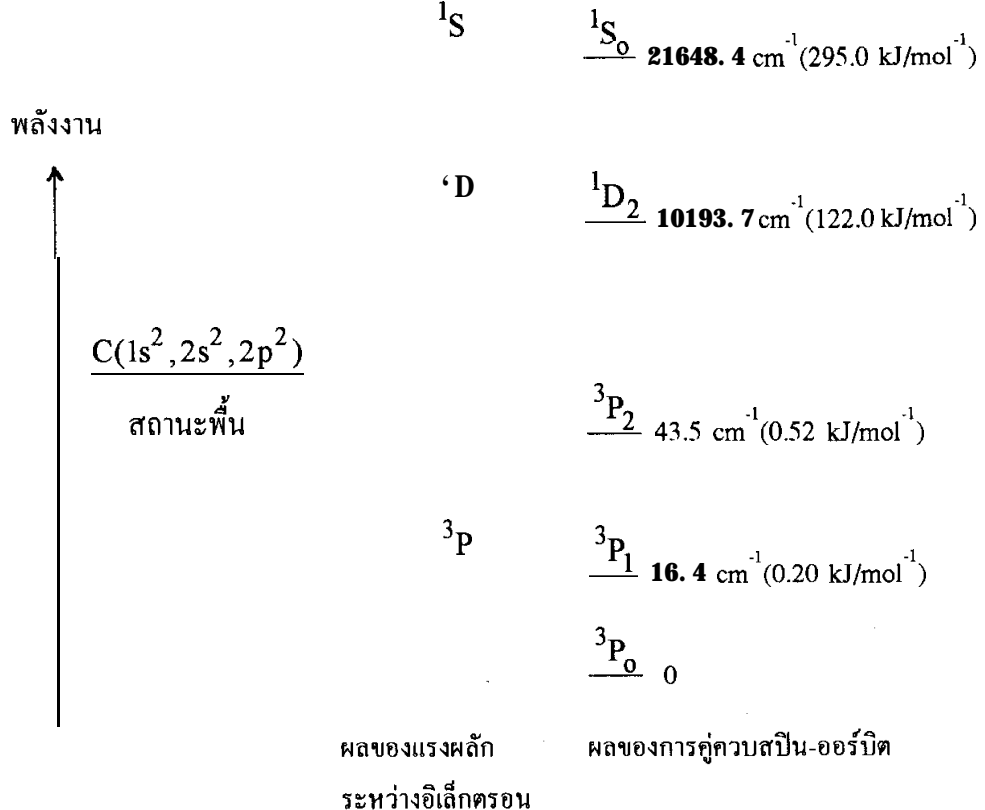
### 1.13.3 การหาเทอมที่มีสถานะพื้น

เมื่อเราทราบเทอมต่างๆที่เกิดขึ้นแล้วจะสามารถหาลำดับของพลังงานและสถานะพื้นได้ โดยใช้กฎของอุณห์ค์ ดังต่อไปนี้

1) สถานะพื้นเทอมจะมีมัลติพลิชิตมากที่สุด ดังนั้น สำหรับ C อะตอมได้แก่

$^3P_{2,1,0}$

2) เทอมที่มีมัลติพลิชิตเท่ากัน สถานะที่มีค่า L สูงกว่าจะเสถียรมากกว่า ดังนั้น  $^1D$  จึงเสถียรกว่า  $^1S$



รูปที่ 1.10 การแยกของเทอมในสถานะพื้นของคาร์บอน

3) สำหรับค่า S และ L ค่าหนึ่ง ค่า J ที่น้อยที่สุด (minimum) จะเสถียรที่สุด ในชั้นที่มีอิเล็กตรอนน้อยกว่าครึ่งหนึ่ง และค่า J ที่มากที่สุด (maximum) จะเสถียรมากในชั้นที่มีอิเล็กตรอนมากกว่าครึ่งหนึ่ง

ดังนั้นในกรณีของ C อะตอม  $^3P_0$  จึงเป็นสถานะพื้น ดังในรูปที่ 1.10 แสดงให้เห็นการแยกของเทอมในสถานะพื้นของการบอน ซึ่งเกิดจากผลของแรงผลักระหว่างอิเล็กตรอนและผลของการคุ่ความสปิน-ออร์บิต

## แบบฝึกหัดและคำถ้ามท้ายบท

1.1 จงนิยาม (ก) ความไทรเซ็นของพลังงาน

(ข) เลขค่อนต้มหลัก

และอธิบายความสัมพันธ์ระหว่างเลขค่อนต้มโน้มเอนตัมเชิงมุนของอร์บิตัลที่เป็นไปได้กับเลขค่อนต้มหลัก

1.2 พิจารณาไฮโตรเจน 2 อะตอม อะตอมแรกมีอิเล็กตรอนอยู่ใน  $n = 1$  อะตอมที่สองมีอิเล็กตรอนอยู่ใน  $n = 4$

(ก) อะตอมใดมีโครงแบบอิเล็กตรอนเป็นสถานะพื้น

(ข) อะตอมใดซึ่งอิเล็กตรอนจะเคลื่อนที่ได้เร็วกว่า

(ค) วงโคจรใดมีรัศมีใหญ่กว่า

(ง) อะตอมใดจะมีพลังงานอิօนไนเซ็นมากกว่า

1.3 จงเขียนสมการแสดงการหาความยาวคลื่นของแสงซึ่งถูกปล่อยออกจากด้วย  $\text{He}^+$  อิออน เมื่อสลาย (decay) จากเลขค่อนต้ม  $n = 4$  ไปยัง  $n = 3$  โดยให้สมการที่แสดงอยู่ในฟังก์ชันของ  $m, e, h, \pi$  และ  $c$  เท่านั้น จากนั้นให้คำนวณความยาวคลื่นของกามาเป็นตัวเลข (ไม่ต้องคำนึงถึงมวลคงตอน)

1.4 จงคำนวณหาพลังงาน ความยาวคลื่น และเลขค่อนต้มของโฟตอนของแสงในช่วงที่มองเห็นได้ (visible light) ซึ่งมีความถี่เท่ากับ  $0.66 \times 10^{15}$  เฮิร์ทซ์

1.5 จงคำนวณความยาวคลื่นเดอ บรอก์ ของ

(ก) อิเล็กตรอนซึ่งกำลังเคลื่อนที่ด้วยความเร็ว  $1/12$  เท่าของความเร็วแสง

(ข) อนุภาคที่มีมวล 400 กรัม เคลื่อนที่ด้วยความเร็ว 10 กิโลเมตรต่อชั่วโมง

1.6 จงเขียนรูปแบบทั่วไปของสมการช์โรดิจิงอร์ และนิยามแต่ละเทอม

1.7 สำหรับอะตอมมิคออร์บิตัลของชั้น 2s, 2p, 3d และ 4p จงสเก็ตช์(sketch)

(ก) ฟังก์ชันคลื่นเชิงรัศมี R

(ข) ฟังก์ชันความน่าจะเป็นเชิงรัศมี  $r^2 R^2$

- (ก) แผนที่เส้นทาง (contour maps) ของความหนาแน่นอิเล็กตรอน
- 1.8 จงเขียนเซต (set) ของเลขค่าอนดัมสำหรับเวลน์ซึ่งอิเล็กตรอนของ  
 (ก) Cs                  (ก) Al                  (ก) Y                  (ก)  $\text{Nb}^{2+}$
- 1.9 จงให้เหตุผลสำหรับการเปรียบเทียบขนาดต่อไปนี้  
 (ก)  $\text{Mg} > \text{Mg}^{2+}$                   (ก)  $\text{Ca} > \text{Zn}$   
 (ก)  $\text{H}^- > \text{He}$                   (ก)  $\text{As}^{3-} > \text{Se}^{2-}$
- 1.10 จงเขียนรัศมีเซต-ซอนเดอร์ทอมสัญลักษณ์ สำหรับสถานะพื้นของ  
 (ก) O                  (ก) Be                  (ก) Br                  (ก)  $\text{Mn}^{2+}$   
 (ก)  $\text{Cu}^{2+}$                   (ก)  $\text{Zn}^{2+}$                   (ก)  $\text{Ir}^{3+}$